

최적화근사해법

홍성필

서울대학교 산업공학과
최적화 연구실

A supplementary lecture note for the book *Approximation algorithms*
by V. Vazirani

2007년 봄학기

Part I

Chapter 1, 2

NP-optimization problems

정의 1.1

An NP-optimization, Π consists of the followings.

- A set of *valid instances*, D_Π , recognizable in polynomial time. All the numbers are rational. The size of an instance $I \in D_\Pi$, denoted by $|I|$ is the number of bits needed to write I in binary.
- Each instance $I \in D_\Pi$ has a nonempty set of *feasible solutions*, $S_\Pi(I)$. Every solution $s \in S_\Pi(I)$ is of length polynomially bounded in $|I|$. Also, there is polynomial time algorithm that, given I and s , decides whether $s \in S_\Pi(I)$.
- There is a polynomial time computable *objective function* $\text{obj}_\Pi : S_\Pi(I) \rightarrow \mathbb{Q}_+$.
- Π is specified to be either a *maximization problem* or a *minimization problem*.

When Π is a minimization problem, $s \in S_{\Pi}(I)$ is an optimal solution for an instance I if $\text{obj}_{\Pi}(s)$ is the largest among the feasible solutions of $S_{\Pi}(I)$.

$\text{OPT}_{\Pi}(I)$ or simply OPT will denote the largest objective value.

Approximation algorithms

Let Π be a minimization (maximization) problem, and $\delta : \mathbb{Z}_+ \rightarrow \mathbb{Q}_+$ a function with $\delta \geq 1$ ($\delta \leq 1$, resp.). An algorithm \mathcal{A} is said to be *factor δ approximation* algorithm, or *δ -approximation* of Π if, on each instance I , \mathcal{A} produces a feasible solution $s \in S_\Pi(I)$ such that

$$\text{obj}_\Pi(s) \leq \delta(|I|)\text{OPT}_\Pi(I)$$

$$(\text{obj}_\Pi(s) \geq \delta(|I|)\text{OPT}_\Pi(I), \text{ resp.}).$$

정의 1.2

(Vertex Cover) Given an undirected graph $G = (V, E)$, and a cost function $c : V \rightarrow \mathbb{Q}_+$, find a minimum cost *vertex cover*, namely $U \subseteq V$ such that every edge has at least one endpoint in U .

Notation: $c(v) = c_v$ $c(U) = \sum_{v \in U} c_v$.

c_v 가 모두 1일 때, Cardinality Vertex Cover (CVC) 라고 부른다.

Lower bounding OPT

NP-hard NP-최적화 문제의 OPT를 구하는 것은 해를 구하는 것과 마찬가지로 NP-hard이다 (왜?).

따라서 근사알고리즘을 디자인 할 때는 OPT를 대신할 수 있는 값이 필요하다. 다항시간 계산가능한 OPT의 하한(lower bound) (최소화 문제의 경우)을 보통 사용한다.

이러한 Lower bounding을 CVC 예를 통해 살펴 보자.

정의 1.3

(Matching) Given an undirected graph $G = (V, E)$, an edge set $M \subset E$ is called a matching if no two edges of M shares an endpoint.

성질 1.4

$|M| \leq |C| \forall \text{ matching } M \text{ and cover } C.$

알고리즘 1.5

Find a maximal matching M of G and return the M -covered vertices.

$s \in S$ is *maximal* if no other element of S is “larger than” s and *maximum* if s is “larger than” or equal to any other element.

정리 1.6

Algorithm 1.5 is a 2-approximation of CVC.

Proof

Some questions

1. A better analysis of Algorithm 1.5 is possible?
2. A better algorithm with the same lower bounding scheme?
3. A better approximation?

Well-characterized problems Π

정의 1.7

결정문제 $\Pi \in \text{NP} \iff \Pi$ has a YES-certificate: Π 의 답이 '예'일 때, 이를 다항시간에 확인하게 하는 근거가 존재.

성질 1.8

$P \subseteq \text{NP}$.

정의 1.9

$\Pi \in \text{NP} \iff \Pi^c \in \text{co-NP}$.

성질 1.10

$P \subseteq \text{co-NP}$.

VC: G 는 $|C| \leq k$ 인 vertex cover C 를 가지는가?

VC^c : G 의 모든 vertex cover C 는 $|C| > k$ 인가?

• VC가 NP에 속하는 것은 쉽게 알 수 있다. YES-certificate은 쉽게 만들 수 있기 때문이다. 즉, VC^c 는 co-NP에 속한다. 그러나, VC는 YES-certificate과는 달리, 쉬운 NO-certificate (VC^c 의 YES-certificate)이 존재하지 않으며, 실제로 존재하지 않는다고 받아들이고 있다.

추측 1.11

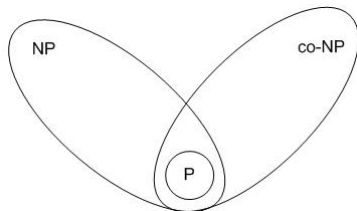
$VC^c \notin NP$ (equiv, $VC \notin co-NP$).

그러면, 다음과 같은 추측이 역시 성립하게 된다.

추측 1.12

$NP \neq co-NP$.

Widely accepted picture



성질 1.13

추측 1.12을 가정하면 어떠한 NP-hard 문제도 *No-certificate*을 가질 수 없다.

(왜인지 설명할 것.)

정의 1.14

결정문제 Π well-characterized. $\Leftrightarrow \Pi \in \text{NP} \cap \text{co-NP}$.

앞의 논의에 의하여 Π 가 well characterized라는 것은 다항알고리즘을 가진다는 강한 '방증'이 된다.

역사적으로, 이분그래프에서의 마디커버, 최대 짝짓기 (matching) 문제, 그리고 선형계획(LP)은 well-characterization을 갖는다는 사실에 근거하여 다항알고리즘을 추구했던 대표적인 예.

예 1.15

무향 그래프 G 가 이분그래프이면 최대 짝짓기와 최소 vertex cover의 크기는 같다. (König의 정리)

따라서 VC는 이분 그래프에서는 well-characterized. 실제로 이분그래프에서 vertex cover문제는 다항알고리즘이 존재한다.

참고 1.16

이분그래프의 가정이 없으면 두 값이 같지 않은 예를 쉽게 만들 수 있다. 예를 들어, 홀수 회로. 또한 피터슨 그래프는 완전짝짓기를 갖으면서도 최소 VC의 크기가 완전짝짓기의 크기 5 보다 크다. 이는 피터슨 그래프가 마디를 공유하지 않는 두개의 길이 5인 홀수회로를 갖기 때문인데, 각각 최소 3개의 마디가 필요하기 때문이다.

예 1.17

홀수 마디커버와 최대크기 짝짓기 (Tutte-Berge Formula)

예 1.18

LP-duality

따라서, 이분그래프의 짝짓기와 같이 최대크기 짝짓기, 그리고 LP는 well-characterized.

많은 min-max 관계는 LP-duality로 해석할 수 있다. (König의 정리와 Tutte-Berge Formula도 마찬가지.)

뒤에 보겠지만 LP-duality는 다항알고리즘 뿐만 아니라 근사해법 개발에도 매우 유용하다.

집합커버(Set Cover)

문제 2.1

Set Cover (SC)

입력: 유한집합 U , $|U| = n$. U 의 부분집합의 콜렉션

$\mathcal{S} = \{S_1, \dots, S_m\}$, $c: \mathcal{S} \rightarrow \mathbb{Q}_+$.

최적해: 합하면 U 가 되는 \mathcal{S} 의 최소비용 부분 콜렉션.

- 현재까지의 SC 알고리즘들은 $O(\log n)$ 이나 f 의 근사성을 갖는다. (여기서 f 는 U 의 한개의 원소가 \mathcal{S} 의 집합에 나타나는 최대 횟수. VC의 경우, $f = 2$.)

현재까지 커버된 마디들을 C 라고 할 때, \mathcal{S} 의 집합 S 의 평균비용을 다음과 같이 정의:

$$\frac{c(S)}{|S - C|}.$$

Greedy 알고리즘

1. $C \leftarrow \emptyset$;

2. **while** $C \neq U$ **do**

현재 가장 작은 평균비용(α 라고 하자)을 갖는 S 의 집합, say, S 를 선택; $S - C$ 의 각 원소 v 들의 가격, $p(v) = \alpha$ 로 정의;

$C \leftarrow C \cup S$;

3. 선택된 집합들을 출력.

기본정리 2.2

U 의 원소들을 커버된 순서대로 v_1, v_2, \dots, v_n 이라고 하자.
그러면,

$$p(v_k) \leq \frac{\text{OPT}}{n - k + 1}.$$

증명: 임의의 반복단계에서도, 최적해에서 사용되지 않은 집합을 다 모으면 OPT를 넘지 않는 비용으로 아직 커버되지 않은 마디들의 집합 $U \setminus C$ 를 모두 커버할 수 있다. 따라서 이 집합 중에는 평균비용이 $\frac{\text{OPT}}{|U \setminus C|}$ 를 넘지 않는 것이 있다: 최적해 중 남은

집합들을 $S_{i_1}, S_{i_2}, \dots, S_{i_l}$ 이라 하면, $\frac{\text{OPT}}{|U \setminus C|} \geq \frac{c(S_{i_1}) + \dots + c(S_{i_l})}{|S_{i_1} \setminus C| + \dots + |S_{i_l} \setminus C|} \geq$

$\min_k \left\{ \frac{c(S_{i_k})}{|S_{i_k} \setminus C|} \right\}$. (Use: 모든 수 양수일 때, $\frac{a_1}{a_2} \leq \frac{b_1}{b_2}$, $\frac{c_1}{c_2}$ 이면

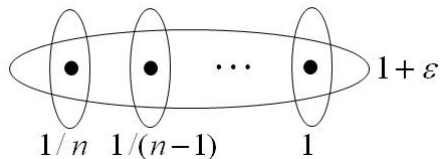
$$\frac{a_1}{a_2} \leq \frac{a_1 + b_1 + c_1}{a_2 + b_2 + c_2}.)$$

v_k 가 커버되는 반복단계를 생각하자. 그러면 $|U - C| \geq n - k + 1$ 이며, v_k 는 알고리즘에 따라 평균비용이 가장 작은 집합으로 커버되기 때문에

$$p(v_k) \leq \frac{\text{OPT}}{|U - C|} \leq \frac{\text{OPT}}{n - k + 1}. \square$$

정리 2.3

위의 알고리즘은 $H_n \equiv 1 + \frac{1}{2} + \frac{1}{3} + \dots + \frac{1}{n} \asymp \ln n$ 의 근사계수를 갖는다.

Tight example

$$U = \{1, 2, \dots, n\}, c(\{1, 2, \dots, n\}) = 1 + \epsilon,$$
$$c(\{1\}) = \frac{1}{n}, c(\{2\}) = \frac{1}{n-1}, \dots, c(\{n\}) = 1.$$

Essentially the best possible approximation!

Layering

마디 가중치 $w : V \rightarrow \mathbb{Q}_+$ 가 어떤 상수 $c > 0$ 가 존재하여 $w(v) = c \deg(v)$ 를 만족하면 *degree-weighted*라고 부른다.

기본정리 2.4

w 가 *degree-weighted*이면 $w(V) \leq 2\text{OPT}$.

증명: U 를 최적커버라고 하자. 커버이기 때문에 $\sum_{v \in U} \deg(v) \geq |E|$. 따라서 $w(U) \geq c|E|$. 그런데 $w(V) = c \sum_{v \in V} \deg(v) = 2c|E|$. 따라서, $w(V) \leq 2\text{OPT}$. \square

임의의 가중치 w 에 대해서, 다음과 같이 최대 *degree-weighted* 가중치를 정의하자: 차수가 0인 마디를 모두 제거한다.

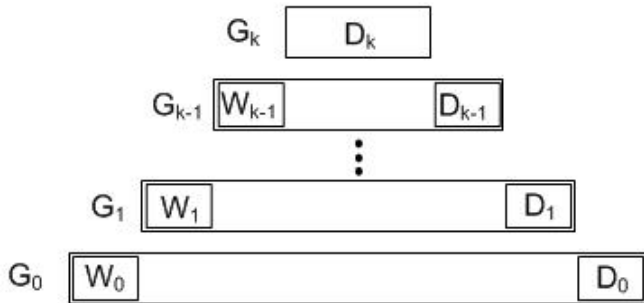
$c = \min\{w(v)/\deg(v)\}$ 를 계산하고 새로운 가중치 $t(v) = c \deg(v)$ 를 정의한다. 그리고 잔여가중치 $w'(v) = w(v) - t(v)$ 를 계산한다.

다음과 같은 알고리즘을 적용한다.

$G_0 = G$ 로 놓는다. G_0 로 부터 차수가 0인 마디 집합 D_0 를 모두 제거하고 w 에 대하여 최대 degree-weighted 가중치를 계산한다. 이 때 0의 잔여가중치를 갖는 마디집합을 W_0 라고 하자.

G_1 을 마디 집합 $V - (W_0 \cup D_0)$ 로 유도된 그래프라고 하자. 위의 과정을 잔여가중치를 가중치로 사용하는 G_1 에 반복한다.

이 과정은 모든 마디의 차수가 0이 되는 G_k 가 생성될 때 까지 반복한다. $C = W_0 \cup \dots \cup W_{k-1}$ 을 해로 생성한다.



t_0, t_1, \dots, t_{k-1} 을 G_0, G_1, \dots, G_{k-1} 의 최대 degree-weighted 가중치라고 하자.

정리 2.5

위의 알고리즘은 임의의 가중치에 대하여 2-근사해법이다.

증명: 우선 C 가 마디커버임을 보이자. 만약 아니라면, $V - C = D_0 \cup \dots \cup D_k$ 라는 사실로부터, 어떤 i 와 j 에 대하여, $u \in D_i$, $v \in D_j$ 라는 의미이다. $i \leq j$ 라고 하자. 그러면 (u, v) 가 G_i 의 호이어야 하며 이는 u 가 G_i 에서 차수가 0이라는 것에 모순이다.

근사치를 증명하기 위해 C^* 를 최적 마디커버라고 하자. 만약 $v \in C \cap W_j$ 이면 $w(v) = \sum_{i \leq j} t_i(v)$ 가 된다. 따라서 $w(C) = \sum_{i=0}^{k-1} t_i(C \cap V(G_i))$. 한편 $v \in D_j$ 이면 $w(v) \geq \sum_{i < j} t_i(v) = \sum_{i \leq j} t_i(v)$ ($t_j(v) = c \deg_{G_j}(v) = 0$). 따라서 임의의 마디 집합 S 에 대하여 $w(S) \geq \sum_{i=0}^{k-1} t_i(S \cap V(G_i))$.

우선 각 i 에 대해, $C^* \cap V(G_i)$ 는 G_i 의 마디커버가 된다. 따라서 앞의 기본정리에 의하여

$$t_i(C \cap V(G_i)) \leq t_i(V(G_i)) \leq 2t_i(C^* \cap V(G_i)).$$

$$w(C) = \sum_{i=0}^{k-1} t_i(C \cap V(G_i)) \leq 2 \sum_{i=0}^{k-1} t_i(C^* \cap V(G_i)) \leq 2w(C^*).$$

□

Tight example

$K_{n,n}$ with unit vertex weights.

Part II

Chapter 3

Multicut과 정수다품목흐름문제: 나무의 경우

정의 3.1

메트릭 스타이너나무(MStT) G 가 완전호 (complete) 그래프이고 호의 비용이 다음과 같이 삼각부등식을 만족하는 스타이너나무 문제를 메트릭 스타이너 나무문제라고 하자:

$$c_{ij} + c_{jk} \geq c_{ik}, \forall i, j, k \in V.$$

정리 3.2

임의의 스타이너나무 문제를, 근사계수가 유지되도록 하면서, 메트릭 스타이너 나무 문제로 다항변환할 수 있다.

증명: 위의 정의와 같이 스타이너나무 문제가 있을 때, 같은 마디집합을 가진 완전호 그래프 G' 에서 스타이너나무 문제를 정의한다. S 는 동일하게 놓는다. 비용을 다음과 같이 정의한다.

$$c'_{ij} = G \text{의 } i-j \text{ 최단경로 비용.}$$

호비용 c' 이 삼각부등식을 만족하는 것은 당연하다. 또한 G' 의 호비용은 G 의 호비용보다 크지 않다. 따라서, G' 의 최적해는 G 의 최적해보다 비용이 크지 않다. G' 의 최적해의 호에 대응하는 최단경로의 호를 모두 포함하는 G 의 부분그래프는 그 비용이 같다. 만약 회로를 포함하면 회로가 생기지 않을 때까지 호를 제거하여 G 의 최적 가능해를 얻을 수 있다. \square

MST를 사용한 StT 알고리즘

지금부터 G 가 삼각부등식을 만족한다고 가정하자.

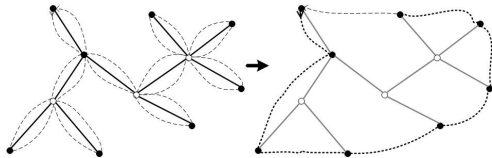
MST 기반 StT 알고리즘

S 로 유도된 부분그래프에서 최소신장나무(MST)를 구한다.

정리 3.3

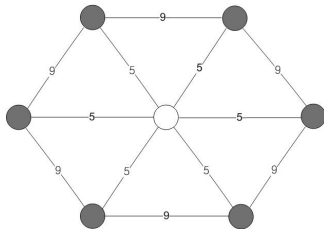
위 알고리즘 해의 비용은 최적 비용의 2배를 넘지 않는다.

증명: 비용 OPT를 가진 최적스타이너 나무를 생각하자. 그리고 호를 두 배로 복사한다. 이렇게 얻은 그래프의 오일러 회로를 구하자. (예를 들어 다음과 같이 깊이우선탐색으로 구할 수 있다.) 그리고 'Short-cutting'을 사용하여, S 의 마디들의 해밀턴 경로를 구한다.



삼각부등식에 의하여 해밀턴 경로의 길이는 OPT의 두배를 넘지 않는다. 해밀턴 경로는 S 의 마디를 포함하는 걸침나무에 하나이다. 따라서 정리의 증명이 끝난다. \square

tight example



메트릭 TSP

정의 3.4

TSP

입력: 완전호 그래프 G , 비음 호 비용 c .

출력: 최소비용 투어, 즉, 모든 마디를 정확히 한번 포함하는 회로.

호비용이 삼각부등식을 만족하면 **메트릭 TSP**라고 하자.

정리 3.5

어떤 다항시간 계산가능 함수 $\alpha(n)$ 에 대해서도 TSP의 $\alpha(n)$ -근사는 불가능하다.

증명: 다음과 같이 그래프 $G = (V, E)$ 위의 HC로 부터 마디집합 V 의 완전호 그래프 G' 에 정의된 TSP로의 다항변환을 생각해보자. G' 의 호 e 의 비용 c_e 는,

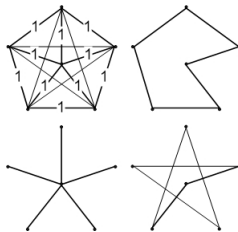
$$c_e = \begin{cases} 1, & e \in E \\ n\alpha(n), & e \notin E. \end{cases}$$

만약 TSP의 $\alpha(n)$ -근사가 가능하다면, 이를 사용하여 다항시간에 결정문제 HC를 풀 수 있음을 알 수 있다. \square

메트릭 TSP를 위한 2-근사

1. G 의 MST를 구한다.
2. MST의 호들을 이중복사한다.
3. 오일러 회로를 구한다.
4. 오일러 회로를 경유하며, 마디들이 처음 나오는 순서대로 'short-cutting'을 통하여 투어를 만든다.

Tight example



개선된 $\frac{3}{2}$ -근사

1. G 의 MST를 구한다.
2. MST의 홀수 차수 마디들로 유도된 G 의 부분그래프에서 최소비용 완전 짝짓기 M 을 구하여, 이 호들을 MST에 추가한다.
3. 위 그래프는 모든 마디 차수가 짝수이므로 존재하는 오일러 회로를 구한다.
4. 오일러 회로를 경유하며 마디들이 처음 나오는 순서대로 'short-cutting'을 사용하여 투어를 만든다.

기본정리 3.6

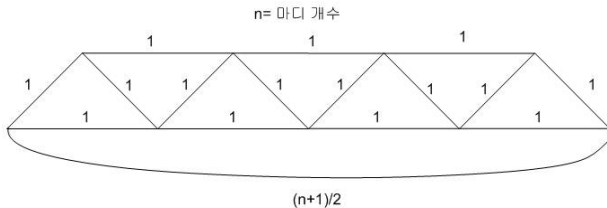
$U \subseteq V$, $|U|$ 는 짝수, 그리고 M 이 U 로 유도된 부분그래프의 최소비용 완전 짝짓기라고 하자. 그러면 $c(M) \leq \frac{1}{2}OPT$.

증명: 최적투어 τ 를 생각하자. 그리고 τ' 을 투어 τ 를 경유하며 U 에 short-cutting을 적용하며 만든 투어라고 하자. 그러면 $c(\tau') \leq c(\tau)$. 그런데, τ 는 U 의 두개의 완전 짝짓기의 합집합이 된다. 따라서 이중, 비용이 작은 것은 $\frac{1}{2}OPT$ 를 넘지 못한다. 따라서 최소비용 완전 짝짓기도 그러하다. \square

위에서 구한 오일러 경로의 비용은

$$\leq c(MST) + c(M) \leq \text{OPT} + \frac{1}{2}\text{OPT} = \frac{3}{2}\text{OPT}.$$

tight example



추측 3.7

메트릭 TSP의 $\frac{4}{3}$ -근사가 가능하다.

Part III

Chapter 4

k -터미널절단면, k -절단면문제

정의 4.1

절단면(cut) 연결된 무향그래프 $G = (V, E)$ 의 V 를 분할(partition)하는 임의의 두 집합, $U \cup (V \setminus U)$ 에 걸쳐있는 호의 집합을 절단면(cut)이라고 한다. 만약 $s \in U, t \in V \setminus U$ 이면 $s - t$ 절단면이라고 한다.

위와 같이 절단면으로 분리하고 싶은 마디들을 터미널이라고 부르자.

정의 4.2

k -터미널절단(k -terminal cut 또는 multyway cut)문제

입력: 무향 그래프 $G = (V, E)$, 비음 호 비용 c , 터미널 집합 $\{s_1, s_2, \dots, s_k\} \subseteq V$.

출력: 제거하면 모든 터미널들이 서로 분리되는 호 집합, 즉, 터미널절단면(terminal cut) 중에서 최소비용을 갖는 것.

- $k \geq 3$ 이면 NP-hard.

정의 4.3

k -절단(k -cut)문제

입력: 무향 그래프 $G = (V, E)$, 비음 호 비용 c .

출력: 제거하면 모든 G 가 k 개의 요소로 분리되는 호 집합, 즉, k -절단면(k -terminal cut) 중에서 최소비용을 갖는 것.

- k 가 고정된 상수이면 다항시간에 풀 수 있음. 그렇지 않으면 NP-hard.

k -터미널절단면 알고리즘

1. 각 $i = 1, 2, \dots, k$ 에 대해 터미널 s_i 를 다른 모든 터미널로부터 고립시키는 최소비용 절단면 C_i 를 구한다.
 2. C_i 들 중에서 가장 비용이 큰 것, say, C_k 를 제외시키고 나머지 절단면의 합집합 $C \equiv \bigcup_{i=1}^{k-1} C_i$ 를 해로 한다.
- s_i 를 고립시키는 최소절단면은, $S \setminus s_i$ 를 하나의 마디로 축약한 그래프에서, 축약 마디와 s_i 를 분리하는 최소비용 절단면.
따라서 최대흐름 알고리즘을 사용하면 다항시간에 구할 수 있다.

정리 4.4

k -터미널절단면 알고리즘은 $(2 - \frac{2}{k})$ -근사해를 보장한다.

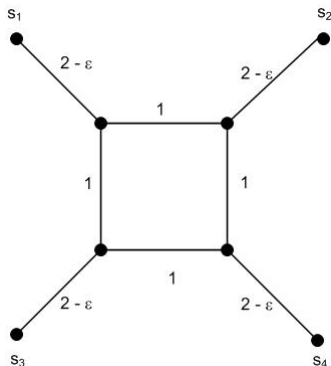
증명: 최적해를 A 라고 하자. 모든 호비용이 비음이므로, A 는 G 를, s_i 를 한 개씩 포함하는 정확히 k 개의 요소로 분리한다고 가정할 수 있다. 이 때, 터미널 s_i 를 포함하는 요소와 다른 요소들 사이에 걸쳐있는 A 의 호들을 A_i 라고 쓰자. A 의 각 호는 두 개의 요소에 걸쳐있으므로

$$A = \bigcup_{i=1}^k A_i, \quad \sum_{i=1}^k c(A_i) = 2c(A).$$

$c(C_i) \leq c(A_i)$ 이므로 C 가 2-근사라는 것을 쉽게 알 수 있지만, 조금 더 나은 분석이 가능하다:

$$\begin{aligned} c(C) &\leq \sum_{i=1}^k c(C_i) - c(C_k) \leq \sum_{i=1}^k c(A_i) - c(C_k) \\ &\leq 2c(A) - \frac{2}{k}c(A). \end{aligned}$$

마지막 부등호는 $c(C_k)$ 가 어떤 $c(A_i)$ 보다도 크기 때문이다. \square

tight example

알고리즘으로 얻은 해의 비용은

$$(2 - \epsilon)(k - 1) = (2 - \epsilon) \left(1 - \frac{1}{k}\right) k = (2 - \epsilon) \left(1 - \frac{1}{k}\right) \text{OPT} \quad \forall \epsilon > 0.$$

정의 4.5

고모리-후 나무 호비용 c 를 가진 무향그래프 $G = (V, E)$ 가 있을 때, 마디집합 V 와 호가중치 w 를 가지는 나무 T 가 다음의 성질을 만족할 때 고모리-후 나무라고 한다.

- i) 모든 $e \in E$ 에 대해 T 에서 호 e 를 제거하면 양분되는 마디집합 U 와 $V \setminus U$ 로 결정되는 G 의 절단면의 비용이 w_e 가 된다: $c(U; V \setminus U) = w_e$.
- ii) 모든 마디 쌍 $u, v \in V$ 에 대해, 최소비용 $u - v$ 절단면의 값이 G 와 T 에서 같다.

- 최대흐름 알고리즘을 $n - 1$ 번 적용하면 고모리-후 나무는 얻을 수 있다(Exer. 4.3-4.6)!
- 이는 $\binom{n}{2}$ 개 마디 쌍을 분리하는 최소절단면들을 T 의 $n - 1$ 개의 절단면으로 모두 나타낼 수 있다는 의미이다.

k -절단면 알고리즘

1. G 의 G - H 나무 T 를 구한다.
2. T 의 호 중에서 가중치가 가장 작은 $k - 1$ 개의 호를 골라, G 에서 이에 대응하는 절단면의 합집합 C 를 구한다.,

정리 4.6

위의 알고리즘은 $(2 - \frac{2}{k})$ -근사해를 보장한다.

증명: 우선 C 가 실제로 k 개 이상의 요소로 G 를 분리한다는 것을 보자. (k 보다 크면 k 개가 되도록 C 에서 호를 빼면 된다.) T 에서 $k - 1$ 의 호를 제거하면, 정확히 k 개의 요소와 이 요소들에 대응하는 k 개의 마디집합이 생기는데, 이 마디 집합들은 모두 G 에서도 서로 분리된다는 것을 알 수 있다. 따라서 k 개 이상의 요소로 G 가 분리된다.

k -절단면 문제의 최적해를 A 라고 하자. A 를 제거할 때 생기는 k 개의 요소의 마디집합을 V_1, V_2, \dots, V_k , 그리고 V_i 를 다른 마디들과 분리하는 절단면을 A_i 라고 하자. 그러면

$$\sum_{i=1}^k c(A_i) = 2c(A).$$

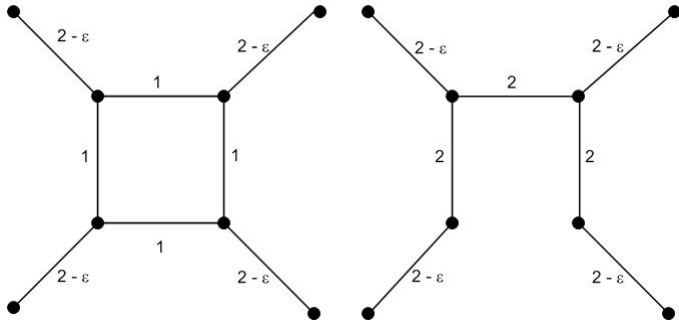
이 중에서 호비용이 가장 큰 것을 A_k 라고 하자.

만약 T 에서 가중치가 각각 $c(A_i)$ $i = 1, 2, \dots, k - 1$ 보다 크지 않은 $k - 1$ 개의 호를 찾을 수 있다면 증명은 끝나게 된다. 이를 위해 T 에서 V_1, V_2, \dots, V_k 의 각 마디집합을 하나의 마디로 축약한다. 이 때 마디집합 사이에서 남아있는 호의 집합을 B 라고 하자. 만약 이렇게 얻은 그래프가 나무가 아니면 나무가 될 때까지 호를 제거한다. 남은 $k - 1$ 개의 호집합을 B' 이라고 하자. 만약 이 나무에서 $(u, v) \in B'$ 이고 (u, v) 가 V_i 에 대응하는 마디에 달려있다고 하자. 그러면 w_{uv} 는 최소 $u - v$ 절단면의 비용이고 A_i 는 $u - v$ 절단면 중 하나이기 때문에 $w_{uv} \leq c(A_i)$ 가 성립한다.

C 는 T 의 호중에서 비용이 가장 작은 $k-1$ 개의 호의 비용이기 때문에,

$$\begin{aligned} c(C) &\leq \sum_{e \in B'} w_e \leq \sum_{i=1}^{k-1} c(A_i) \\ &\leq \left(1 - \frac{1}{k}\right) \sum_{i=1}^k c(A_i) = 2 \left(1 - \frac{1}{k}\right) c(A). \square \end{aligned}$$

tight example



Part IV

Chapter 5, 6

k-센터문제

정의 5.1

메트릭 k-센터문제

입력: 삼각부등식을 만족하는 호비용 c_{uv} , $uv \in E$ 를 가진 무향 완전호그래프 $G = (V, E)$, 자연수 $k (< |V|)$.

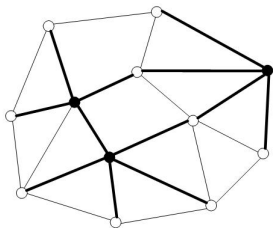
최적해: 크기가 k 인 V 의 부분집합 S 중에서, V 의 각 마디에서 S 의 최소 비용 이웃 마디까지의 비용의 최대값이 최소가 되는 것:

$$\min_{S \subseteq V: |S|=k} \max_{v \in V} \min_{u \in S} c_{vu}.$$

정의 5.2

Dominating Set 무향그래프 $G = (V, E)$ 의 모든 마디의 이웃을 포함하고 있는 집합 $D \subseteq V$ 를 G 의 dominating set이라고 한다.

이것은 G 의 마디집합이 $|D|$ 개의 별($K_{1,p}$, $p \geq 1$)로 커버된다는 것과 동치이다.
(별이 모두 마디 교집합이 없다고 가정할 수 있다.)



- *k*-센터문제는 메트릭이 아닌 경우, 어떤 근사계수 $\alpha(n)$ 도 불가능.
- 메트릭 *k*-센터문제는 어떤 $\epsilon > 0$ 에 대해서도 $(2 - \epsilon)$ -근사가 불가능하다.
- Hochbaum과 Shmoys는 2-근사해법 개발.

메트릭 k-센터문제의 다른 관점

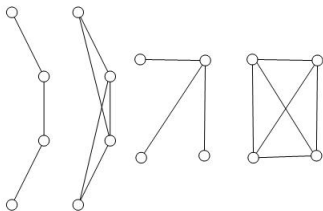
호를 비용 증가 순서로 정렬한다: $c_{e_1} \leq c_{e_2} \leq \dots \leq c_{e_m}$.

$E_i \equiv \{e_1, e_2, \dots, e_i\}$. $G_i \equiv (V, E_i)$ 로 정의한다. k-센터문제는 크기가 k를 넘지 않은 dominating set을 가진 G_i 중에서 최소 값 i^* 를 선택하는 문제와 동치이다. 그러면 $c_{e_{i^*}}$ 가 최적목적함수 값이 된다.

- 최소 크기 dominating set을 구하는 문제는 NP-hard이다.

정의 5.3

제곱그래프(square graph) 무향그래프 $G = (V, E)$ 의 제곱그래프 G^2 는 같은 마디집합 V 와, G 에서 길이 2이하의 경로로 연결되는 마디 간의 호 집합으로 주어지는 그래프로 정의한다.



기본정리 5.4

G^2 의 안정집합(stable set, independent set), I 의 크기는 G 의 dominating set D 의 크기 보다 같거나 작다.

증명: G 의 마디집합은 $|D|$ 개의 별로 커버된다. G 의 별은 G^2 의 클릭이다. 한개의 클릭에서 최대 한개의 안정집합의 마디가 선택될 수 있다. 따라서, $|I| \leq |D|$. \square

메트릭 k-센터 알고리즘

1. $G_1^2, G_2^2, \dots, G_m^2$ 를 구성한다.
2. G_i^2 의 maximal 안정집합 M_i 를 구한다.
3. $|M_i| \leq k$ 인 최소 i 를 j 라고 하자.
4. M_j 를 해로 출력.

기본정리 5.5

$$c_{e_j} \leq \text{OPT}.$$

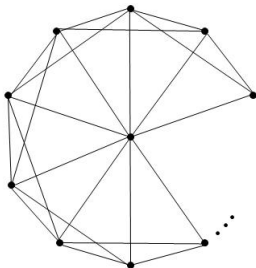
증명: $i < j$ 이면 $k < |M_i| \leq$ 모든 dominating set의 크기. 따라서 $i < i^*$. 즉, $c_{e_j} \leq \text{OPT}$.

정리 5.6

위의 알고리즘은 2-근사해를 보장한다.

증명: 우선 M_j 는 maximal 안정집합으로써, G_j^2 따라서 G 의 dominating set이 된다. 이 때, 삼각부등식에 의해 G 에서 센터 M_j 의 마디들이 사용하는 호는 G_j^2 호 비용 2배를 넘지 않는다. 따라서, 기본정리 5.5 에 의해 정리가 성립. □

Tight example



정리 5.7

$P \neq NP$ 라면, 어떠한 $\epsilon > 0$ 에 대해서도 메트릭 k -센터의 $(2 - \epsilon)$ -근사해법은 불가능하다.

증명: $G = (V, E)$ 에 $|D| \leq k$ 인 dominating set D 가 존재하는가라는 결정문제를 보자. G 에 호를 첨가하여 완전호 그래프로 만들자. 원래 호에는 1, 새로 첨가된 호에는 2의 비용을 준다. 그리고 이 그래프에서 정의된 메트릭 k -센터 문제에 $(2 - \epsilon)$ -근사해법을 적용한다.

답이 “예”인 문제는 목적함수가 최대 $(2 - \epsilon)$ 인 해를 근사해법이 구할 것이고, “아니오”인 문제는 목적함수가 최소 2인 해를 구할 것이다. \square

정의 5.8

마디 가중치 메트릭 k-센터문제

입력: 삼각부등식을 만족하는 호비용 c_{uv} , $uv \in E$ 과 마디 가중치 $w : V \rightarrow \mathbb{Q}_+$ 를 가진 무향 완전호그래프 $G = (V, E)$, 상수 $k \in \mathbb{Q}_+$.

최적해: 가중치의 합이 k 를 넘지 않는 V 의 부분집합 S 중에서, V 의 각 마디에서 S 의 최소 비용 이웃 마디까지의 비용의 최대값이 최소가 되는 것:

$$\min_{S \subseteq V: w(S) \leq k} \max_{v \in V} \min_{u \in S} c_{vu}.$$

$\text{wdom}(H) \equiv$ 마디 가중치를 가진 그래프 H 의 dominating set의 가중치 중에서 최소값.

기본정리 5.9

그래프 H 에서 마디 u 의 최소 가중치 이웃 마디를 $s(u)$, I 를 H^2 의 안정집합이라고 할 때,

$$w(\{s(u) : u \in I\}) \leq \text{wdom}(H).$$

증명: D 를 H 의 최소가중치 dominating set이라고 하자. 그러면 H 의 모든 마디를 커버하는 D 의 각 마디를 중심으로 하는 서로 마디 교집합이 없는 별이 $|D|$ 개 존재하며 이들은 H^2 에서는 모두 클릭이 된다. 따라서 I 는 각 별에서 한개 이상의 마디를 가질 수가 없다. 그리고 I 의 마디들은 어떤 별에 속하고 따라서 그 별의 중심 마디를 이웃마디로 갖는다. 따라서,
 $w(\{s(u) : u \in I\}) \leq \text{wdom}(H)$. \square

$s_i(u) \equiv G_i$ 에서 마디 u 의 최소 가중치 이웃마디

마디 가중치 메트릭 k-센터 알고리즘

1. $G_1^2, G_2^2, \dots, G_m^2$ 를 구성한다.
2. G_i^2 의 maximal 안정집합 M_i 를 구한다.
3. $S_i = \{s_i(u) : u \in M_i\}$ 를 구한다.
4. $w(S_i) \leq k$ 인 최소 i 를 j 라고 하면, S_j 를 해로 한다.

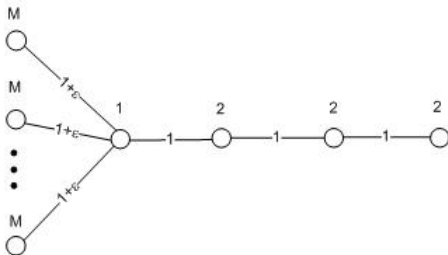
정리 5.10

3-근사

증명: 마디 가중치가 없는 경우와 같이, 기본정리 5.9에 의하여,
 $c_{e_j} \leq \text{OPT}$ 임을 알 수 있다.

모든 마디 v 는 M_j 의 어떤 마디 u 와 G_j 에서 두 개 이하의 호를 가진 경로로 연결된다. 또한 $u \in M_j$ 와 $s_j(u)$ 는 정의에 따라, G_j 의 한개의 호로 연결된다. 모든 G 의 마디와 S_j 의 어떤 마디는, 따라서, G_j 의 호를 세개 이하 가진 경로로 연결된다. 삼각부등식에 의해 그 경로의 길이는 $\leq 3c_{e_j} \leq 3\text{OPT}$ 가 된다. \square

Tight example



피드백 마디집합

정의 6.1

피드백 마디집합

입력: 마디 가중치 $w : V \rightarrow \mathbb{Q}_+$ 를 가진 무향 그래프 $G = (V, E)$.

최적해: 제거하면 G 를 무회로(acyclic) 그래프로 만드는 마디 집합 중에서 가중치의 합이 최소가 되는 것.

- 제거하면 G 를 무회로(acyclic) 그래프로 만든다는 것은 G 의 모든 회로와 교차한다는 것과 같다.

$\text{GF}[2] \equiv$ 체(field)로서의 $\{0, 1\}$,

참고: 체(field) = 가환나누기환(commutative division ring)

$$0 + 0 = 0, 0 + 1 = 1 + 0 = 1, 1 + 1 = 0,$$

$$0 \cdot 0 = 0 \cdot 1 = 1 \cdot 0 = 0, 1 \cdot 1 = 1$$

G 의 호의 개수 만큼의 차원을 가진 벡터 공간 $\{0, 1\}^{|E|}$ 에서, G 의 단순회로 C 의 특성벡터 χ^C 들로 생성된(span) 부분공간, 즉, 회로공간의 차원을 *cyclomatic number*, $\text{cyc}(G)$ 라고 한다. 회로공간의 원소들은 모든 마디 차수가 2인 부분그래프가 되는 것을 알 수 있다.

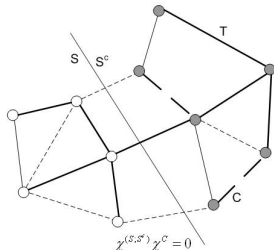
정리 6.2

$$\text{cyc}(G) = |E| - |V| + \kappa(G).$$

우선 G 의 회로공간은 각 연결요소의 회로공간의 합(direct sum)이 된다. 따라서, G 가 연결된 그래프라고 가정하고 정리를 증명하면 된다: $\text{cyc}(G) = |E| - |V| + 1$.

T 를 G 의 걸침나무라고 하자. T 밖의 각 호 e 가 T 의 호와 만드는 회로들은 모두 선형독립인 특성벡터를 만든다. 따라서, $\text{cyc}(G) \geq |E| - (|V| - 1)$.

한편 T 의 각 호에 의해 정의되는 절단면 $(S; S^c)$ 의 특성벡터는, 모든 회로의 특성벡터와 서로 수직이다. 즉 내적이 0이 된다. 왜냐하면, 절단면과 회로는 항상 짝수 개의 호들을 공유하기 때문이다.



이러한 절단면은 $|V| - 1$ 개 존재하는데 모두 선형독립이다. 즉, 회로 공간의 여공간의 차원은 최소 $|V| - 1$ 이 되며, 따라서 회로 공간의 차원은 $|E| - (|V| - 1)$ 을 넘지 않는다. \square

연결된 그래프 G 에서 마디 v 를 제거할 때, cyclomatic number의 감소를 $\delta_G(v)$ 라고 하자. 정리 6.2를 G 와 $G \setminus v$ 에 적용하면, $\text{cyc}(G) = |E| - |V| + 1$, 그리고 $\text{cyc}(G \setminus v) = |E| - \deg_G(v) - |V| + 1 + \kappa(G \setminus v)$ 를 얻는다. 이로부터, 연결된 그래프 G 에서는

$$\delta_G(v) = \deg_G(v) - \kappa(G \setminus v). \quad (6.1)$$

기본정리 6.3

H 가 G 의 부분 그래프이면 $\delta_H(v) \leq \delta_G(v)$.

증명: v 를 제거할 때, 영향을 받는 부분은 이를 포함하는 요소만이다. 따라서, G 와 H 가 연결되었다고 가정하자. (6.1)에 의하여 다음을 증명하는 것과 같다.

$$\deg_H(v) - \kappa(H \setminus v) \leq \deg_G(v) - \kappa(G \setminus v).$$

양쪽의 항들을 비교하자. 우선 $\deg_H(v) \leq \deg_G(v)$ 이다. H 에서 v 를 제거하여 생기는 요소들을 c_1, c_2, \dots, c_k 라고 하자. G 에만 있는 호 중에서 v 에 달려 있지 않은 호는 이 요소들을 연결시켜 개수를 감소 시키는데 만 도움이 된다. 따라서, 만약 $G \setminus v$ 가 요소를 더 가지고 있다면, 이는 제거되는 v 에 달려 있으며 G 에만 있는 호 때문에 추가 되는 요소들이다. 그러나, 이러한 요소 한 개 당 $\deg_G(v)$ 가 $\deg_H(v)$ 보다 최소 1 크다. 따라서 부등호가 성립. \square

만일 $F = \{v_1, v_2, \dots, v_f\}$ 가 피드백마디집합이면 F 를 제거하면 cyclomatic number는 0이 되므로, $G_0 \equiv G$,
 $G_i \equiv G \setminus \{v_1, \dots, v_i\} (i = 1, 2, \dots)$ 라고 하면,

$$\text{cyc}(G) = \sum_{i=1}^f \delta_{G_{i-1}}(v_i).$$

기본정리 6.3에 의하여,

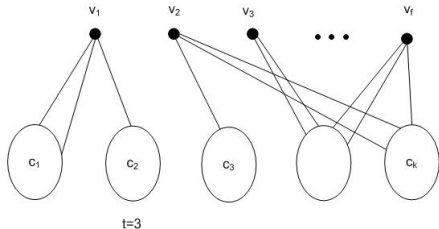
$$\text{cyc}(G) \leq \sum_{e \in F} \delta_G(v). \quad (6.2)$$

기본정리 6.4

F 가 *minimal* 피드백 마디집합이면 $\sum_{v \in F} \delta_G(v) \leq 2\text{cyc}(G)$.

증명: 역시 G 가 연결되었다고 가정할 수 있다. $F = \{v_1, v_2, \dots, v_f\}$ 그리고 F 를 제거하면 k 개의 요소가 생긴다고 하자. 이 중 G 에서 F 의 오직 한개의 마디에 호로 연결되는 요소들이 t 개라고 하면,

$$\sum_{i=1}^f \kappa(G - v_i) = f + t. \quad (6.3)$$



정리 6.2에 의하여 $\sum_{i=1}^f \delta_G(v_i) = \sum_{i=1}^f (\deg_G(v_i) - \kappa(G - v_i))$,
 $\text{cyc}(G) = |E| - |V| + 1$ 이므로, 만약 다음을 보이면 증명은 끝난
 다:

$$\sum_{i=1}^f (\deg_G(v_i) - \kappa(G - v_i)) \leq 2(|E| - |V|).$$

이것은 (6.3)에 의하여 다음과 동치이다:

$$\sum_{i=1}^f \deg_G(v_i) \leq 2(|E| - |V|) + f + t.$$

f 개의 마디를 제거하여 얻은 k 개의 각 요소는 나무가 된다, 따
 라서 요소 내부의 호의 수를 합하면

$$|V| - f - k. \tag{6.4}$$

절단면 $(F; V \setminus F)$ 의 호의 개수의 하한을 구해보자. F 가 minimal이므로 각 v_i 는 F 의 다른 마디를 포함하지 않는 회로에 포함되어야 한다. 따라서 (위의 그림과 같이) 각 v_i 는 두 개 이상의 호로 연결되는 요소를 최소 하나 가지고 있어야 한다. 각 v_i 에 대하여 이 두 개의 호 중 하나를 제거하면 모두 f 개의 호가 제거된다. 마디와 요소 한 쌍을 중복 연결하는 호를 한 개씩 제거하였으므로, 이렇게 f 개를 제거한 후에도, t 개의 요소들은 여전히 F 의 마디 중에 최소 한개와 호로 연결되어야 하며, $k - t$ 개의 요소들은 최소 두 개와 호로 연결되어야 한다. 따라서 $(F; V \setminus F)$ 의 호의 개수는 최소

$$f + t + 2(k - t) = f + 2k - t. \quad (6.5)$$

따라서, (6.4)과 (6.5)에 의하여

$$\begin{aligned} \sum_{i=1}^f \deg_G(v_i) &\leq 2|E| - 2(|V| - f - k) - (f + 2k - t) \\ &= 2(|E| - |V|) + f + t. \square \end{aligned}$$

정의 6.5

어떤 상수 $c > 0$ 에 대해 각 마디 v 의 가중치가 $w_c = c\delta_G(v)$ 를 만족하면 w 를 cyclomatic이라고 부른다.

(6.2)에 의하여 w 가 cyclomatic이면 $ccyc(G) \leq OPT$ 이다. 또한 기본정리 6.4에 의하여 w 가 cyclomatic이고 F 가 minimal 피드백마디집합이면 $w(F) \leq 2ccyc(G)$ 이다:

$$ccyc(G) \leq OPT \leq w(F) \leq 2ccyc(G).$$

따라서, 가중치 w 가 cyclomatic이면 임의의 minimal 피드백집합 F 에 대해

따름정리 6.6

$$w(F) \leq 2OPT.$$

이것을 일반적인 가중치에 적용하기 위하여 다음과 같은 'layering'을 생각하자.

$$c \leftarrow \min_{v \in V} \left\{ \frac{w_v}{\delta_G(v)} \right\}; t_v \leftarrow c \delta_G(v); w'_v \leftarrow w_v - t_v.$$

또한 잔여가중치 w'_v 가 양수인 마디집합을 $V' (\subsetneq V)$, G' 을 V' 으로 유도된 부분그래프라고 하자.

이러한 과정을 G 대신 G' 에, 무회로 그래프가 될 때까지, 반복한다:

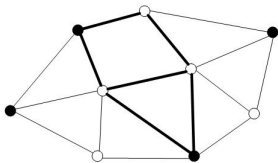
$$\begin{aligned} G &= G_0 \supsetneq G_1 \supsetneq \cdots \supsetneq G_k \\ V &= V_0 \supsetneq V_1 \supsetneq \cdots \supsetneq V_k. \end{aligned}$$

또한, $t^i (i = 0, 1, \dots)$ 는 G_i 에서 정의된 cyclomatic 가중치, $w^i (i = 0, 1, \dots)$ 는 G_i 의 잔여가중치라고 하자: $w^0 \equiv w$, $w^1 \equiv w - t^0$, \dots 그리고 편의상 $t^k = w^k$ 라고 놓자. 그러면,

$$\sum_{i: v \in V_i} t_v^i = w_v. \quad (6.6)$$

기본정리 6.7

H 를 V' 으로 유도된 $G = (V, E)$ 의 부분그래프라고 하자. F 를 H 의 minimal 피드백 마디집합, $F' \subseteq V \setminus V'$ 을 $F \cup F'$ 이 G 의 피드백 마디집합이 되는, minimal 집합이라고 하자. 그러면 $F \cup F'$ 이 G 의 minimal 피드백 마디집합이 된다.



이런 G 의 분해과정에서 무회로인 G_k 의 minimal 피드백마디집합은 $F_k = \emptyset$ 이 된다. 이를 초기해로 하여 $i = k, k-1, \dots, 1$ 에 대하여, G_i 의 minimal 피드백 집합을 $V_{i-1} - V_i$ 의 minimal 집합을 사용하여 G_{i-1} 의 minimal 피드백 집합 F_{i-1} 로 확장한다. 이를 반복하여 F_0 를 해로 한다.

정리 6.8

2-근사.

증명: F^* 를 최적해라고 하자. 그러면 $F^* \cap V_i$ 는 G_i 의 피드백집합이 된다. 그리고 t^i 에 대한 G_i 의 피드백 집합의 최소가중치를 OPT_i 라고 하면,

$$\text{OPT} = w(F^*) = \sum_{i=0}^k t^i(F^* \cap V_i) \geq \sum_{i=0}^k \text{OPT}_i.$$

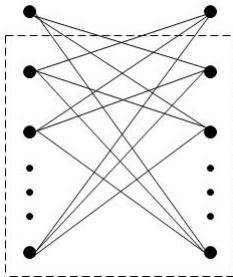
또한 F_0 역시 다음과 같이 분해할 수 있다:

$$w(F_0) = \sum_{i=0}^k t^i(F_0 \cap V_i) = \sum_{i=0}^k t^i(F_i).$$

기본정리 6.7에 의하여, F_i 는 G_i 의 minimal 피드백집합이다. 그리고 모든 $0 \leq i \leq k - 1$ 에 대해 t_i 가 cyclomatic 가중치이므로 $t_i(F_i) \leq 2OPT_i$. 따라서,

$$w(F_0) \leq 2 \sum_{i=0}^k OPT_i \leq 2OPT. \square$$

Tight example



minimal 피드백 집합을 구하는 방법

V 의 부분집합 U 로 유도된 그래프 $G[U]$ 를 생각하자. $U \leftarrow \emptyset$ 으로 시작하여, $G[U]$ 에 회로가 발생할 때 까지 V 의 마디를 첨가한다. 그러면 $F := V \setminus U$ 는 minimal 피드백 집합이 된다.

이 방법은 기본정리 6.7에서 F 와 F' 을 구하는데 자연스럽게 적용할 수 있다: 위의 방법으로 H 에서 F 를 구한 후에 이를 G 에 확장시킬 때는 $V \setminus V'$ 의 마디 중에서 회로가 발생되지 않을 때까지 첨가한다. 이 중 첨가되지 않은 마디들의 집합이 F' 이 된다.

참고 6.9

유향그래프에서는 $O(\log |V| \log \log |V|)$ -근사 가능 (Seymour[95], Even et al[95]).

Part V

Chapter 8-10

완전다항근사해법군(FPTAS)

정의 7.1

근사해법군 최적화문제 Π 의 가능해 x 의 목적함수를 $f_{\Pi}(x)$ 라고 하자. 다음과 같은 알고리즘 \mathcal{A} 를 근사해법군 이라고 부른다: 임의의 문제 예 I 와 $\epsilon > 0$ 을 입력하면 다음을 만족하는 가능해 x 를 출력한다.

- Π 가 최대화문제이면 $f_{\Pi}(x) \geq (1 - \epsilon)\text{OPT}$,
- 최소화문제이면 $f_{\Pi}(x) \leq (1 + \epsilon)\text{OPT}$.

\mathcal{A} 의 수행시간이 고정된 $\epsilon > 0$ 에 대하여 다항식이면 다항시간근사해법군(PTAS, polynomial time approximation scheme)이라고 한다. 더 나아가, $\frac{1}{\epsilon}$ 과 Π 입력크기의 다항식이면 완전다항시간근사해법군 (FPTAS, fully polynomial time approximation scheme)이라고 한다.

문제 7.2

배낭문제 부피 $w_j \in \mathbb{Z}_+$, 효용 $p_j \in \mathbb{Z}_+$ 를 가진 n 개의 품목, $j \in N = \{1, 2, \dots, n\}$ 을 부피 $W \in \mathbb{Z}_+$ 를 가진 배낭에 효용의 합이 최대가 되도록 선택하여 넣는다.

배낭문제를 위한 유사다항 알고리즘

$\langle I \rangle \equiv$ 문제 예 I 의 이진 입력크기

$|I| \equiv$ 문제 예 I 의 unary 입력크기

정의 7.3

문제 Π 의 모든 문제 예 I 를, 어떤 다항함수 p 에 대하여 $p(|I|)$ -시간에 푸는 해법을 유사다항시간 해법이라고 부른다.

알고리즘 7.4

유사다항알고리즘 I: $z(W', l) =$ 품목 $\{1, 2, \dots, l\} (l \leq n)$ 로 부피 $W' (\leq W)$ 을 가진 배낭에서 얻을 수 있는 최대 효용. ($W' \geq w_1$ 이면 $z(W', 1) = p_1$, $0 \leq W' < w_1$ 이면 $z(W', 1) = 0$ 으로 초기화. $W' < 0$ 이면 $z(W', l) = -\infty$ 로 정의.

$$z(W', l) = \max\{z(W' - w_l, l - 1) + p_l, z(W', l - 1)\}. \quad (7.7)$$

알고리즘 7.5

유사다항알고리즘 II: $w(Z, l) =$ 품목 $\{1, 2, \dots, l\} (l \leq n)$ 로 효용 Z 를 얻기 위해 필요한 배낭의 최소 부피 ($\Rightarrow w(0, l) = 0, l = 1, 2, \dots, n.$) $Z < 0$ 이면 $w(Z, l) = \infty$ 로 정의.

$$w(Z, l) = \min\{w(Z - p_l, l - 1) + w_l, w(Z, l - 1)\}. \quad (7.8)$$

OPT = $w(Z, n) \leq B$ 인 최대 Z .
 $O(n^2 \max p_j)$ 시간 알고리즘.

배낭문제를 위한 FPTAS

아이디어: 데이터의 정확도를 낮추어 (낮은 자리 수자를 일정부분 무시) 입력크기를 n 과 $\frac{1}{\epsilon}(\epsilon$ 오차)의 다항식으로 한다.

$P \equiv \max\{p_j\}$, $\hat{p}_j = \lfloor \frac{p_j}{\epsilon P/n} \rfloor$ 로 문제를 근사하여 유사다항알고리즘 II를 적용하여 구한 최적해(품목집합) S 를 근사해로 사용.

성질 7.6

$$p(S) \geq (1 - \epsilon)\text{OPT}.$$

증명: 우선 모든 집합 $S \subseteq N$ 에 대해 $\hat{p}(S) \geq \sum_{i \in S} (\frac{p_i}{\epsilon P/n} - 1) \equiv \frac{1}{\epsilon P/n} p(S) - |S|$.

따라서, $(\epsilon P/n)\hat{p}(S) \geq p(S) - (\epsilon P/n)|S| \geq p(S) - \epsilon P \geq p(S) - \epsilon \text{OPT}$.

따라서, 원래 문제의 최적해를 S^* 라고 하면 $(\epsilon P/n)\hat{p}(S^*) \geq (1 - \epsilon)\text{OPT}$.

그런데, $p(S) \geq (\epsilon P/n)\hat{p}(S) \geq (\epsilon P/n)\hat{p}(S^*)$.

따라서, $p(S) \geq (1 - \epsilon)\text{OPT}$. \square

위의 알고리즘의 수행시간은 $O(n^2 \lfloor \frac{P}{\epsilon P/n} \rfloor) = O(n^2 \lfloor \frac{n}{\epsilon} \rfloor) = O(\frac{n^3}{\epsilon})$. 따라서 배낭문제를 위한 FPTAS가 된다.

Strong NP-hardness & FPTAS

정의 8.1

NP의 모든 문제가, 입력데이터가 unary로 표현된 Π 로 다항변환이 가능하면, Π 를 *strongly NP-hard*라고 한다.

정의 8.2

문제 Π 의 모든 문제 예 I 가, 어떤 다항함수 p 가 존재하여, $|I| \leq p(\langle I \rangle)$ 를 만족하면 Π 를 *비수치문제* (no number problem)이라고 한다. 그렇지 않으면 *수치문제* (number problem)라고 한다.

$$\Pi_p = \{I \in \Pi : |I| \leq p(\langle I \rangle)\}.$$

성질 8.3

만약 Π 가 NP-complete이고 비수치문제라면 유사다항시간 알고리즘은 $P \neq NP$ 인 한 불가능하다.

정의 8.4

만약 어떤 다항함수 p 에 대해 Π_p 가 NP-complete(NP-hard)이면 Π 를 *strongly* NP-complete (*strongly* NP-hard)라고 한다.

정리 8.5

p 를 다항함수 Π 를 NP-hard 최소화 최적화문제라고 하자.
목적함수 f_{Π} 는 정수이고 모든 문제 예 I 에 대해
 $\text{OPT}(I) < p(|I|)$ 가 성립한다고 하자. 만약 Π 가 FPTAS를 가지면
유사다항 알고리즘을 갖는다.

증명: $\epsilon = 1/p(|I|)$. \square

따름정리 8.6

Π 가 정리 8.5의 조건을 만족한다고 하자. 만약 Π 가 strongly
NP-hard이면 FPTAS는 불가능하다.

Part VI

Chapter 11

직선거리(Euclidean) TSP

d -차원 공간의 두 점 x, y 사이에 다음과 같은 직선거리를 생각하자: $\sqrt{\sum_{i=1}^d (x_i - y_i)^2}$.

정의 9.1

직선거리(Euclidean) TSP: d -차원 직선거리 공간(Euclidean space)에 n 개의 점이 있을 때, 이들을 포함하는 직선거리의 합이 가장 작은 순회를 구한다.

우리는 $d = 2$ 인 경우, 즉 평면 위의 문제를 가정한다. (일반적인 경우로 쉽게 확장할 수 있다.)

우선, 모든 점들을 포함하는 가장 작은 정사각형의 길이를 L 이라고 하면, L 은 $4n^2$, 그리고 정사각형의 간격이 1인 격자 위에 모든 n 개의 점들이 위치하고 있다고 가정할 수 있다 (n 은 2의 거듭 제곱이라고 가정.):

$$L = 4n^2, L = 2^k, k = 2 + 2 \log_2 n.$$

또한 m 은 구간 $[\frac{k}{\epsilon}, \frac{2k}{\epsilon}]$ 에 속하는 2의 거듭 제곱수라고 하자.

$$\Rightarrow m = O\left(\frac{\log n}{\epsilon}\right).$$

기본분할

$$L \times L \rightarrow 4 \frac{L}{2} \times \frac{L}{2} \text{ (level 1)} \rightarrow \dots \rightarrow 4^i \frac{L}{2^i} \times \frac{L}{2^i} \text{ (level } i) \rightarrow \dots$$

이러한 기본분할은 모든 마디가 자식을 네개씩 가지는 나무 T 로 표시할 수 있다. 이때 나무의 각 마디는 물론 한 개의 정사각형을 의미한다.

정의 9.2

τ 가 n 개의 점과 어떤 포털 부분집합으로 이루어진 순회 (tour)이며, 포털을 제외한 나머지 부분에서는 호의 교차가 발생하지 않을 때, 기본분할에 맞는 순회라고 부른다.
 기본분할에 맞는 순회 τ 가 어떤 포털도 두번을 초과하여 경유하지 않을 때, 기본분할에 맞는 교차가 제한된 순회라고 부른다.

기본정리 9.3

τ 를 기본분할에 맞는 순회라고 하면, 길이가 τ 를 넘지 않는 교차가 제한된 순회를 구할 수 있다.

증명: 양편에서 Short-Cutting. \square

기본정리 9.4

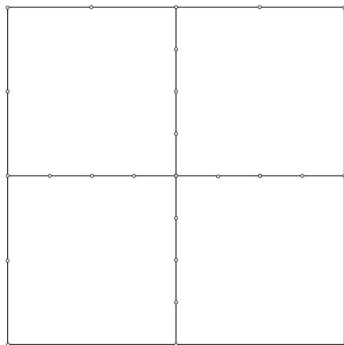
기본 분할에 맞는 제한된 교차 순회 중에 최적 순회를 $2^{O(m)} = n^{O(\frac{1}{\epsilon})}$ 시간 안에 구할 수 있다.

증명 스케치: 동적계획법에 의하여 나무 T 의 각 정사각형의 모든 “valid visit”의 비용의 표를 유지해 간다. T 의 깊이가 $k = O(\log n)$ 이므로 정사각형의 개수는 n 의 다항함수 (계산해 볼것).

τ 를 기본 분할에 맞는 제한된 교차 순회 중에 최적 순회라고 하자. τ 가 나무 T 의 어떤 정사각형을 들고 나는 총횟수는 $8m$ 을 넘지 않는다. τ 중에서 S 에 속하는 부분은, S 의 네개의 변의 포털들에서 시작하고 끝나는 최대 $4m$ 개의 경로로 이루어 진다. 이렇게 네변의 포털들은 같은 경로의 시작과 끝이 됨에 따라 짝을 지을 수 있는데, 사용된 포털의 집합 그 짝짓기를 *valid visits*이라고 부른다.

각 포털은 0, 1, 그리고 2 번까지 사용될 수 있으므로 전체 $3^{4m} = n^{O(\frac{1}{\epsilon})}$ 의 가능성이 있지만 이중에서 짝수, $2r$ 개의 포털이 들고 날때 사용되어 짝지워지는 경우만 생각하면 된다. 이는 2^{2r} 을 넘지 않으며 그 수는 역시 $n^{O(\frac{1}{\epsilon})}$ 를 넘지 않는다. 따라서 S 의 valid visit의 수는 $n^{O(\frac{1}{\epsilon})}$.

한 개의 valid visit의 최적 비용은 어떻게 구할까? S 가 i 번째 레벨의 마디라고 하자. 그리고 임의의 valid visit V 를 생각하자. S 는 레벨 $i+1$ 에 네개의 정사각형으로 분할 되며, 이 때, 네 개의 내부 직선이 최대 $4m$ 개의 추가 포털을 갖게 된다.

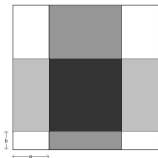


네 개의 정사각형의 모든 포털이 들고 나는 점으로 사용되는 경우의 수는 역시 $n^{O(\frac{1}{\epsilon})}$. 따라서 네 개 사각형의 모든 valid visit의 조합이 만드는 경우의 수 $n^{O(\frac{1}{\epsilon})}$ 이며 이들의 각 사각형에 해당하는 valid visit의 최소 비용은 이미 알고 있다.

네 개 사각형의 모든 valid visit의 조합 중에서 V 와 맞는 것들 만을 고려한다. 그 중에서 비용의 합이 최소가 되는 것이 V 의 최소비용이 된다. □

만약에 기본정리 9.4에서 구한, 기본 분할에 맞는 제한된 교차 순회 중의 최적해의 비용이 $\leq (1 + \epsilon)OPT$ 이면 PTAS가 된다. 그러나, 그렇지 않은 예를 만들수 있다.

이러한 점을 해결하기 위해 다음과 같은 무작위로 선택된 분할을 생각하자: 기본분할을 (a, b) ($0 \leq a, b < L$)만큼 이동한 (a, b) -이동 분할을 생각하자. 즉, 기본분할에서 좌표 (x, y) 를 지나는 수직선과 수평선을 각각 $(a + x) \bmod L$ 와 $(b + y) \bmod L$ 를 지나도록 이동한 분할을 생각해보자.



우리는 만약 a, b 를 무작위로 선택하면 (a, b) -이동 분할에 맞는 제한된 교차 순회 중의 최적해의 비용이 $\leq (1 + \epsilon)OPT$ 가 될 확률이 $\frac{1}{2}$ 이상이 됨을 보일 것이다.

π 를 최적 순회, $N(\pi)$ 를 π 가 격자선들을 수평 또는 수직으로 교차하는 횟수라고 하자. (격자점을 교차하는 경우, 두번으로 센다.) 그러면, 다음은 쉽게 증명할 수 있다.

기본정리 9.5

$$N(\pi) \leq 2 \cdot OPT.$$

정리 9.6

a, b 를 $[0, L)$ 에서 무작위로 선택하면 π 를 (a, b) -이동 분할에 맞추어도, 순회의 길이 증가의 기대 값은 $2\epsilon\text{OPT}$ 를 넘지 않는다.

증명: π 를 (a, b) -이동 분할에 맞추기 위해서는 어떤 선 l 을 지날 때, 포털을 지나지 않으면 해당 선분을 두개로 나누어 가장 가까운 포털을 지나도록 해야 한다. 이때, 이로 인한 순회 비용 증가는 선 l 의 포털 간격을 넘지 않는다. l 이 i -번째 레벨의 선이 될 확률은 $\frac{2^i}{L}$ 이며, 이 때 포털 간격은 $\frac{L}{2^i m}$ 이 된다. 따라서, 순회 비용 증가의 기대 값은

$$\sum_i \frac{L}{2^i m} \frac{2^i}{L} = \frac{k}{m}.$$

그런데, $\frac{k}{\epsilon} \leq m \leq \frac{2k}{\epsilon}$ 이므로 이 값은 ϵ 을 넘지 않는다. 따라서 기본정리 9.5를 사용하면 정리가 증명된다. \square .

기본정리 9.7

마아코프 부등식(Markov Inequality): X 가 비음 확률변수이면

$$\Pr(X \geq kE[X]) \leq \frac{1}{k}.$$

증명: $E[X] = \int_0^{\infty} xf(x)dx \geq c \Pr[X \geq c] \forall c > 0$. $c \leftarrow kE[X]$ 로 대입. \square

정리 9.6에서 순회증가의 기대값은 $E[X] \leq 2\epsilon \text{OPT}$. 따라서, 마아코프 부등식에서 $k = 2$ 로 놓으면 다음과 같은 사실을 얻는다.

따름정리 9.8

무작위로 선택한 (a, b) -이동 분할에 맞는 길이가 $(1 + 4\epsilon)\text{OPT}$ 를 넘지 않는 순회가 존재할 확률이 최소 $\frac{1}{2}$ 이 된다.

Part VII

Chapter 12-15

Part II. LP-기반 근사해법

Review

- The LP-duality theorem
- Min-max relations and LP-duality

Two LP-based algorithm design techniques

- Rounding
- Primal-dual schema

Also we can use LP-duality to analyze approximation algorithms, by *dual fitting*.

Dual fitting analysis

문제 11.1

Set Cover (SC)

입력: 유한집합 U , $|U| = n$. U 의 부분집합의 콜렉션

$\mathcal{S} = \{S_1, \dots, S_m\}$, $c : \mathcal{S} \rightarrow \mathbb{Q}_+$.

최적해: 합하면 U 가 되는 \mathcal{S} 의 최소비용 부분 콜렉션.

$$\begin{aligned} & \min \sum_{S \in \mathcal{S}} c_S x_S \\ \text{sub. to } & \sum_{S: e \in S} x_S \geq 1 \quad \forall e \in U \\ & x_S \in \{0, 1\} \quad S \in \mathcal{S}. \end{aligned}$$

선형계획 완화는 다음과 같이 쓸 수 있다:

$$\begin{aligned}
 & \text{(fractional covering)} \\
 & \text{OPT}_p = \min \sum_{S \in \mathcal{S}} c_S x_S \qquad (11.9) \\
 & \text{sub. to } \sum_{S: e \in S} x_S \geq 1 \quad \forall e \in U \iff y_e \\
 & \qquad \qquad x_S \geq 0
 \end{aligned}$$

$$\begin{aligned}
 & \text{(fractional packing)} \\
 & \max \sum_{e \in U} y_e \qquad (11.10) \\
 & \text{sub. to } \sum_{e: e \in S} y_e \leq c_S \quad \forall S \in \mathcal{S} \\
 & \qquad \qquad y_e \geq 0 \quad \forall e \in U
 \end{aligned}$$

Recall

현재까지 커버된 마디들을 C 라고 할 때,
 S 의 집합 S 의 평균비용을 다음과 같이 정의:

$$p_e = \frac{c(S)}{|S - C|}, \forall e \in S - C.$$

Greedy 알고리즘

1. $C \leftarrow \emptyset$;

2. **while** $C \neq U$ **do**

현재 가장 작은 평균비용(α 라고 하자)을 갖는
 S 의 집합, say, S 를 선택;

$S - C$ 의 각 원소 e 들의 가격, $p_e = \alpha$ 로 정의;

$C \leftarrow C \cup S$;

3. 선택된 집합들을 출력.

여기서 p_e 를 선형완화의 쌍대문제(fractional packing)의 해로 고려하면, 항상 가능해가 되지는 않는다 (HW: 13.2).

그러나, 다음과 같이 정의하면 가능해가 된다:

$$y_e := \frac{p_e}{H_n}.$$

증명: S 의 임의의 집합 S 가 k 개의 원소를 가진다고 하자. 이들을 Greedy 알고리즘으로 커버되는 순서로 e_1, e_2, \dots, e_k 라고 하자. e_i 가 커버되는 반복단계를 생각해보자. 이 순간 최소한 $k - i + 1$ 개의 커버되지 않은 원소가 존재한다. 따라서 S 는 e 를 최대 $c(S)/(k - i + 1)$ 의 평균비용으로 커버할 수 있다. 알고리즘은 가장 저렴하게 e 를 커버하므로 $p_e \leq c(S)/(k - i + 1)$. 따라서,

$$\begin{aligned} y_{e_i} &\leq \frac{1}{H_n} \cdot \frac{c(S)}{k-i+1} \\ \Rightarrow \sum_{i=1}^k y_{e_i} &\leq \frac{c(S)}{H_n} \cdot \left(\frac{1}{k} + \frac{1}{k-1} + \dots + \frac{1}{1} \right) \\ &= \frac{H_k}{H_n} \cdot c(S) \leq c(S). \quad \square \end{aligned}$$

따라서, y 가 쌍대 가능해가 되므로,

$$\sum_{e \in U} p_e = H_n \left(\sum_{e \in U} y_e \right) \leq H_n \cdot \text{OPT}.$$

LP-rounding for Set Cover

$f := S$ 의 집합들에 각 원소가 출현하는 횟수 중 최대 값.

알고리즘 12.1

LP-rounding algorithm

1. 선형완화문제의 최적해를 구한다;
2. $x_S \geq \frac{1}{f}$ 인 S 를 모두 고른다.

정리 12.2

알고리즘 12.1은 근사계수 f 를 보장한다.

증명: 임의의 $e \in U$ 를 생각하자. e 를 포함하는 집합은 많아야 f 개, 따라서 최소 한개의 집합 S 는 fractional cover의 해에서 $x_S \geq \frac{1}{f}$ 가 되어야 한다. 따라서, 위의 알고리즘이 선택한 집합 S 의 집합 \mathcal{C} 는 가능해가 되어야 한다.

그리고 $x_S \geq \frac{1}{f}$ 인 경우에만 1이 되므로, fractional solution들은 f 배를 초과하여 증가하지 않는다. 따라서, 출력된 정수해의 목적함수 값은 fractional cover의 목적함수 값 OPT_p 의 f 배를 넘지 않는다. \square

알고리즘 12.3

확률 라운딩 알고리즘

1. 선형완화문제의 최적해 x 를 구한다;
2. 각 집합이 x_S 의 확률로 선택되도록 무작위로 각 집합을 선택하여 \mathcal{C} 를 구한다.
(앞면과 뒷면이 나올 확률이 각각 $x_S, 1 - x_S$ 인 동전을 던져 앞면이 나오면 집합 S 를 해에 포함시킨다.)
3. 위의 과정을 $c \log n$ 번 반복하여 그 합집합 \mathcal{C}' 을 해로 한다.
(c 의 값은 아래에 설명.)

$$\mathbf{E}[c(\mathcal{C})] = \sum_{S \in \mathcal{S}} c_S \cdot \Pr[S \text{ 가 선택됨}] = \sum_{S \in \mathcal{S}} c_S x_S = \text{OPT}_p$$

U 의 각 원소 a 가 C 에 의해 커버될 확률은?

S 의 k 개의 집합이 원소 a 를 포함한다고 하자. 그 최적해의 값들을 x_1, x_2, \dots, x_k 이라고 하자. 그러면 $x_1 + x_2 + \dots + x_k \geq 1$. 이 집합 중 최소한 하나가 선택될 확률은

$$1 - (1 - x_1)(1 - x_2) \cdots (1 - x_k) \geq 1 - \left(1 - \frac{1}{k}\right)^k \geq 1 - \frac{1}{e}.$$

알고리즘에서 다음이 만족되도록 c 를 잡는다:

$$\left(\frac{1}{e}\right)^{c \log n} \leq \frac{1}{4n}.$$

그러면,

$$\Pr[a \text{가 } C' \text{으로 커버되지 않음}] \leq \left(\frac{1}{e}\right)^{c \log n} \leq \frac{1}{4n}.$$

따라서 C' 이 가능해가 아닐 확률은 $\leq n \cdot \frac{1}{4n} \leq \frac{1}{4}$.

한편, $\mathbf{E}[c(C')] \leq c \log n \text{OPT}_p$ 이므로, 마야코프 부등식을 적용할 수 있다: X 가 비음 확률변수이면, 임의의 양수 t 에 대해 $\Pr[X \geq t] \leq \frac{\mathbf{E}[X]}{t}$.

$$\Pr[c(C') \geq 4c \log n \cdot \text{OPT}_p] \leq \Pr[c(C') \geq 4\mathbf{E}[c(C')]] \leq \frac{1}{4}.$$

따라서 C' 이 가능해이고 그 비용이 $4c \log n \cdot \text{OPT}_p$ 를 넘지 않을 확률은 $\frac{1}{2}$ 이상이 된다.

$\frac{1}{2}$ -정수성을 사용한 마디커버 2-근사 알고리즘.

$$\begin{aligned} & \min \sum_{v \in V} c_v x_v && (12.11) \\ \text{sub. to } & x_u + x_v \geq 1 \quad \forall (u, v) \in E \\ & x_v \in \{0, 1\}, \quad v \in V. \end{aligned}$$

$$\begin{aligned} & \min \sum_{v \in V} c_v x_v && (12.12) \\ \text{sub. to } & x_u + x_v \geq 1 \quad \forall (u, v) \in E \\ & x_v \geq 0, \quad v \in V. \end{aligned}$$

기본정리 12.4

(12.12)은 $\frac{1}{2}$ -정수성을 갖는다. 즉, 그 꼭지점들은 모두 그 원소의 값이 0, $\frac{1}{2}$, 또는 1이 된다.

증명: 원소의 값이 0, $\frac{1}{2}$, 또는 1이 아닌 값을 갖는 가능해 x 는 다른 두 가능해의 볼록조합으로 표시되는 것을 보이자.

$$V_+ = \left\{ v : \frac{1}{2} < x_v < 1 \right\}, \quad V_- = \left\{ v : 0 < x_v < \frac{1}{2} \right\}.$$

$\epsilon > 0$ 에 대하여, 다음과 같은 해를 정의하자:

$$y_v = \begin{cases} x_v + \epsilon, & v \in V_+ \\ x_v - \epsilon, & v \in V_- \\ x_v, & \text{나머지.} \end{cases}, \quad z_v = \begin{cases} x_v - \epsilon, & v \in V_+ \\ x_v + \epsilon, & v \in V_- \\ x_v, & \text{나머지.} \end{cases}$$

여기서, $y \neq z$ 이며 y 와 z 가 비음 조건과 (12.12)의 가능해가 되도록 ϵ 을 충분히 작게 잡을 수 있다.

그런데, $x = \frac{1}{2}(y + z)$. \square

이러한 $\frac{1}{2}$ -정수성을 사용하면 2-근사해법을 쉽게 만들 수 있다. 왜인지 설명하여 보라.

쌍대성을 사용한 Set Cover 알고리즘

$$A = (a_{ij}) \in \mathbb{Q}^{m \times n}$$

$$\min c^T x \quad (13.13)$$

$$Ax \geq b$$

$$x \geq 0.$$

$$\max b^T y \quad (13.14)$$

$$A^T y \leq c$$

$$y \geq 0.$$

근사-원-상보여유조건

$$\alpha \geq 1$$

모든 $j = 1, \dots, n$ 에 대해, $x_j = 0$ 이거나,
 $\frac{c_j}{\alpha} \leq \sum_{i=1}^m a_{ij} y_i \leq c_j$. (또는, $\frac{1}{\alpha} c^T \leq y^T A \leq c^T$.)

근사-쌍대-상보여유조건

$$\beta \geq 1$$

모든 $i = 1, \dots, m$ 에 대해, $y_i = 0$ 이거나,
 $b_i \leq \sum_{j=1}^n a_{ij} x_j \leq \beta b_i$. (또는, $b \leq Ax \leq \beta b$.)

기본정리 13.1

(x, y) 가 근사-상보여유조건을 만족하는 원-쌍대 가능해 쌍이면 $(b^T y \leq) c^T x \leq \alpha \beta b^T y$ 이 성립한다.

증명:

$$c^T x \leq \alpha y^T A x \leq \alpha \beta y^T b. \quad \square$$

Set Cover를 위한 원-쌍대 알고리즘

$$\alpha = 1, \beta = f.$$

근사-원-상보여유조건

$$\forall S, x_S > 0 \Rightarrow \sum_{e \in S} y_e = c_S.$$

근사-쌍대-상보여유조건

$$\forall e, y_e > 0 \Rightarrow \sum_{S: e \in S} x_S \leq f.$$

알고리즘 13.2

Set Cover 원-쌍대 근사 알고리즘

1. $x \leftarrow 0, y \leftarrow 0$;
2. 모든 원소가 커버될 때 까지 다음을 반복한다:
아직 커버되지 않은 임의 원소 e 를 선택한다;
등호로 만족되는 쌍대 제약식이 생길 때 까지
 y_e 를 증가시킨다;
등호로 만족되는 제약식의 집합들을 모두 커버에 넣고
이에 따라 x_S 를 업데이트한다;
이 때 새롭게 커버되는 원소들을 업데이트 한다.
3. 집합커버 x 를 출력한다.

정리 13.3

알고리즘 13.2은 f -근사해를 보장한다.

Part VIII

Chapter 16

MAX-SAT을 위한 선형계획 라운딩

정의 14.1

Max-Sat

입력: n 개의 부울변수 $x = (x_1, x_2, \dots, x_n)$ 의 리터럴들의 disjunction으로 이루어진 절(clause) c 들의 집합 \mathcal{C} 의 conjunctive normal form 함수,

$$f = \bigwedge_{c \in \mathcal{C}} c.$$

각 절 $c \in \mathcal{C}$ 의 가중치 w_c .

최적해: f 의 만족되는 절들의 가중치의 합이 최대가 되는 x 의 진리값.

모든 절의 리터럴의 개수가 k 개 이하이면 MAX- k SAT이라고 부른다.

절의 리터럴이 많을 때

알고리즘 14.2

Max-Sat 알고리즘

각 변수가 독립적으로 $\frac{1}{2}$ 확률로 True가 되도록 진리값을 생성한다.

해에서 절 c 의 가중치 값을 W_c 라고 하면, c 의 리터럴의 개수를 k 라고 하면 $E[W_c] = (1 - \frac{1}{2^k})w_c$ 가 됨을 쉽게 알 수 있다.
 $(1 - \frac{1}{2^k}) \geq \frac{1}{2}$ 이므로 전체 가중치의 기대값은

$$E[W] = \sum_{c \in C} E[W_c] \geq \frac{1}{2} \sum_{c \in C} w_c \geq \frac{1}{2} \text{OPT.}$$

모든 절에서 $k \geq 2$ 이면 $E[W] \geq \frac{3}{4} \text{OPT}$ 가 됨을 알 수 있다.

Derandomization

알고리즘 14.2를 결정적 알고리즘으로 derandomize하여 보자. 즉, 동일한 근사치를, 확률적이 아니라, 결정적으로 보장할 수 있는 방법을 보자.

$$\begin{aligned} & E[W|x_1 = a_1, \dots, x_i = a_i] \\ &= E[W|x_1 = a_1, \dots, x_i = a_i, x_{i+1} = \text{True}] \cdot \frac{1}{2} \\ &+ E[W|x_1 = a_1, \dots, x_i = a_i, x_{i+1} = \text{False}] \cdot \frac{1}{2} \end{aligned}$$

따라서, $E[W|x_1 = a_1, \dots, x_i = a_i, x_{i+1} = \text{True}]$,
또는 $E[W|x_1 = a_1, \dots, x_i = a_i, x_{i+1} = \text{False}]$ 는 $E[W|x_1 = a_1, \dots, x_i = a_i]$ 보다
커야한다.

따라서 이러한 관계를 x_i 들의 임의로 정한 순서에 따라 (첨자 순서라고 가정하자) 적용하면 모든 x_i 들이 진리값을 갖게 되는 순간, $E[W]$ 와 같거나 큰 목적함수를 가진 해가 반드시 따라서 결정적으로 구해지게 된다.

모든 i 에 대해 기대값 $E[W|x_1 = a_1, \dots, x_i = a_i]$ 를 다항시간에 계산할 수 있다면, 이는 다항시간 알고리즘이 된다. 진리값이 독립적으로 주어지는 경우 이는 다항시간에 계산할 수 있다. (왜 인가?)

Notice: 이 원리는 기대값을 다항시간에 계산할 수 있다면 변수 진리값이 독립적으로 주어지지 않는 경우에도 적용된다:

$$\begin{aligned}
 & E[W|x_1 = a_1, \dots, x_i = a_i] \\
 &= E[W|x_1 = a_1, \dots, x_i = a_i, x_{i+1} = \text{True}] \\
 &\quad \times \Pr[x_{i+1} = \text{True}|x_1 = a_1, \dots, x_i = a_i] \\
 &+ E[W|x_1 = a_1, \dots, x_i = a_i, x_{i+1} = \text{False}] \\
 &\quad \times \Pr[x_{i+1} = \text{False}|x_1 = a_1, \dots, x_i = a_i].
 \end{aligned}$$

절의 리터럴이 적을 때

S_c^+ : 절 c 에 원형으로 나타나는 변수 집합

S_c^- : 절 c 에 부정으로 나타나는 변수 집합

$$y_i = \begin{cases} 1, & x_j = \text{True} \\ 0, & x_j = \text{False}. \end{cases}$$

$$\begin{aligned} & \max \sum_{c \in \mathcal{C}} w_c z_c && (14.15) \\ \text{sub. to } & \sum_{i \in S_c^+} y_i + \sum_{i \in S_c^-} (1 - y_i) \geq z_c \quad \forall c \in \mathcal{C} \\ & z_c \in \{0, 1\}, \quad \forall c \in \mathcal{C}, \\ & y_i \in \{0, 1\}, \quad \forall i. \end{aligned}$$

$$\begin{aligned} & \max \sum_{c \in \mathcal{C}} w_c z_c && (14.16) \\ \text{sub. to } & \sum_{i \in S_c^+} y_i + \sum_{i \in S_c^-} (1 - y_i) \geq z_c \quad \forall c \in \mathcal{C} \\ & 0 \leq z_c \leq 1, \quad \forall c \in \mathcal{C}, \\ & 0 \leq y_i \leq 1, \quad \forall i. \end{aligned}$$

알고리즘 14.3

Max-Sat LP 라운딩 알고리즘

선형계획 14.16를 풀어 최적해 (y^*, z^*) 를 구한다.

각 변수 x_i 가 확률 y_i^* 로 True가 되도록 독립적으로 진리값을 결정한다.

LP 라운딩 알고리즘으로 얻은 진리값이 만족하는 절의 가중치 합을 W , 그 중 절 c 에 해당하는 부분을 W_c 라고 하자.

기본정리 14.4

c 가 k 개의 리터럴로 만들어졌다면, $E[W_c] \geq \left(1 - \left(1 - \frac{1}{k}\right)^k\right) w_c z_c^*$.

증명: c 의 변수들을 편의상 x_1, \dots, x_k 라고 하자.

그러면 c 가 만족될 확률은

$$1 - \prod_{i \in S_c^+} (1 - y_i) \prod_{i \in S_c^-} y_i \geq 1 - \left(\frac{1}{k} \left(\sum_{i \in S_c^+} (1 - y_i) + \sum_{i \in S_c^-} y_i\right)\right)^k =$$

$$1 - \left(1 - \frac{1}{k} \left(\sum_{i \in S_c^+} y_i + \sum_{i \in S_c^-} (1 - y_i)\right)\right)^k \geq 1 - \left(1 - \frac{z_c}{k}\right)^k.$$

여기서 $g(z) := 1 - \left(1 - \frac{z}{k}\right)^k$ 는 오목(concave)함수이다. 따라서 구간 $[0, 1]$ 에서 $h(z) = g(1)z + g(0) = \left(1 - \left(1 - \frac{1}{k}\right)^k\right) z$ 보다 크다. 따라서 $\dots \square$

$1 - \left(1 - \frac{1}{k}\right)^k$ 는 k 에 대한 감소함수이다. 따라서, 모든 절의 리터럴의 수가

$$k$$
를 넘지 않는다면, $E[W] \geq \left(1 - \left(1 - \frac{1}{k}\right)^k\right) \sum_{c \in C} w_c z_c^* =$

$$\left(1 - \left(1 - \frac{1}{k}\right)^k\right) \text{OPT}_{LP} \geq \left(1 - \left(1 - \frac{1}{k}\right)^k\right) \text{OPT} \geq \left(1 - \frac{1}{e}\right) \text{OPT}.$$

알고리즘 14.2와 마찬가지로 알고리즘 14.3을 derandomize할 수 있다.

$\frac{3}{4}$ -근사 알고리즘

다음과 같은 알고리즘을 생각해보자.

동전을 던진다. 앞이 나오면 알고리즘 14.2를 뒤가 나오면 알고리즘 14.3를 수행한다.

기본정리 14.5

$$E[W_C] \geq \frac{3}{4} w_C z_C^*.$$

증명: $E[W_C | \text{앞}] = (1 - 2^{-k}) w_C \geq (1 - 2^{-k}) w_C z_C^*,$

$E[W_C | \text{뒤}] = \left(1 - \left(1 - \frac{1}{k}\right)^k\right) w_C z_C^*.$ 따라서,

$$E[W_C] \geq \frac{1}{2} \left((1 - 2^{-k}) + \left(1 - \left(1 - \frac{1}{k}\right)^k\right) \right) w_C z_C^* \geq \frac{3}{4} w_C z_C^*. \quad \square$$

알고리즘 14.6

- (결정적 $\frac{3}{4}$ -근사 알고리즘) 1. 알고리즘 14.2을 derandomize한다.
2. 알고리즘 14.3를 derandomize한다.
3. 두 개의 해 중 나은 것을 출력한다.

기본정리 14.7

알고리즘 14.6은 MAX-SAT의 $\frac{3}{4}$ -근사해를 결정적으로 보장한다.

앞에서 $E[W] \geq \frac{3}{4} \text{OPT}_{LP}$, 따라서, 알고리즘이 제공하는 정수해의 integrality gap은 $\frac{3}{4}$ 이상이다. 실제로 다음과 같은 tight example이 존재한다.

예 14.8

$f = (x_1 \vee x_2) \wedge (\bar{x}_1 \vee x_2) \wedge (x_1 \vee \bar{x}_2) \wedge (\bar{x}_1 \vee \bar{x}_2)$. 모든 절의 가중치를 1이라고 하면 $y_i = \frac{1}{2}$, $z_c = 1$ 이 선형완화의 최적해가 됨을 알 수 있다. 따라서 $\text{OPT}_{LP} = 4$. 그러나, $\text{OPT} = 3$.

예 14.9

$f = (x_1 \vee x_2) \wedge (x_1 \vee \bar{x}_2) \wedge (\bar{x}_1 \vee x_2)$. 절의 가중치를 각각 1, 1, $2 + \epsilon$ 이라고 하면 $y_i = \frac{1}{2}$, $z_c = 1$ 이 선형완화의 최적해가 됨을 알 수 있다. 따라서, 두 randomized 알고리즘 모두 모든 변수를 $\frac{1}{2}$ 의 확률로 True로 지정한다. derandomization 단계에서 x_1 을 가장 먼저 조건으로 잡으면, $E[W|x_1 = \text{True}] = 3 + \frac{\epsilon}{2}$, $E[W|x_1 = \text{False}] = 3 + \epsilon$. 따라서 x_1 은 False로 지정한다. 그러면 목적함수는 $3 + \epsilon$. 그러나, x_1 를 True로 지정하면 $4 + \epsilon$ 의 가중치를 얻을 수 있다.

Part IX

Chapter 17

독립 병렬프로세서 스케줄링

문제 15.1

독립 병렬프로세서 스케줄링

입력: 작업 집합 J , 프로세서 집합 M , 요구 작업시간 $p_{ij} \in \mathbb{Z}_+$, $i \in M, j \in J$.

최적해: 'makespan' 즉 마지막 작업이 끝나는 순간까지의 시간을 최소화하는 프로세서-작업 스케줄.

p_{ij} 가 모든 $i \in M$ 에 대해 같은 경우, 최소 makespan 문제라고 부르며, PTAS가 존재. 각 프로세서의 속도 s_i 가 있어, 작업시간이 p_j/s_i 로 결정되는 경우에도 PTAS 존재 (17.5).

Parametric pruning을 사용한 선형완화

$$\begin{aligned}
 & \min t \\
 & \text{sub. to } \sum_{i \in M} x_{ij} = 1, \forall j \in J \\
 & \quad \sum_{j \in J} p_{ij} x_{ij} \leq t, \forall i \in M \\
 & \quad x_{ij} \in \{0, 1\}, \forall i \in M, \forall j \in J.
 \end{aligned}$$

선형완화문제의 integrality gap은 무한하다:

예 15.2

m 개의 프로세서와 모든 프로세서에서 m 의 수행시간이 걸리는 한개의 작업의 경우, 최적 목적함수 값은 m 이지만 선형완화 최적해 목적함수 값은 1.

이렇게, 목적함수보다 큰 작업시간을 가진 변수가 양의 값을 갖는 극단적인 해를 방지 하기 위해 다음과 같이 parametric pruning을 병행하는 선형계획완화를 생각하자: 각 $T \in \mathbb{Z}_+$ 값에 대해, $S_T = \{(i, j) : p_{ij} \leq T\}$ 로 정의하자. 그리고 $LP(T)$ 를 다음과 같은 선형계획 가능성문제로 정의하자:

$$\begin{aligned} \sum_{i:(i,j) \in S_T} x_{ij} &= 1 \quad \forall j \in J & (15.17) \\ \sum_{j:(i,j) \in S_T} p_{ij} x_{ij} &\leq T, \quad \forall i \in M \\ x_{ij} &\geq 0, \quad \forall (i, j) \in S_T. \end{aligned}$$

이분탐색으로 $LP(T)$ 가 가능해를 갖는 최소 T 를 구할 수 있다. 이를 T^* 라고 하면 OPT의 하한이 된다.

기본정리 15.3

$LP(T)$ 의 꼭지점해는 최대 $m + n$ 개의 양수 원소를 갖는다.

따름정리 15.4

LP(T)의 꼭지점해는 최소 $n - m$ 개의 작업에 대해 정수값 즉 1을 갖는다.

증명: 꼭지점 해에서 정수값을 갖는 작업, 즉 한개의 프로세서에 배치된 작업의 수를 α , 여러 개의 프로세서에 분수값으로 나누어진 작업의 수를 β 라고 하자. 그러면, 양수를 갖는 원소는 최소한 $\alpha + 2\beta$ 이지만 앞의 기본정리 15.3에 의하여 양수 원소의 개수는 최대 $m + n$ 이다. 따라서 $\alpha + 2\beta \leq m + n$. 또한 $\alpha + \beta = n$. 그러므로 $\alpha \geq n - m$. \square

LP(T)의 꼭지점해, x 에 대해 다음과 같은 마디집합 JUM 를 갖는 이분그래프 $G = (JUM, E)$ 를 정의한다. $(j, i) \in E \Leftrightarrow x_{ij} \neq 0$. $F \subseteq J$ 를 여러 개의 프로세서에 분수값으로 나누어진 작업의 집합이라고 하자. 그리고 H 를 마디 집합 FUM 에 의하여 유도된 G 의 부분그래프라고 하자. 물론 H 의 각 호 (j, i) 는 $0 < x_{ij} < 1$ 를 만족한다.

H 에는 F 의 마디들을 모두 커버하는 짝짓기가 존재한다는 것을 증명할 수 있다(기본정리 15.6).

꼭지점 해의 성질

마디집합 V 를 가지며, 호의 개수가 $|V|$ 이하인 연결된 그래프를 유사나무(pseudo-tree)라고 부르자. 또한 연결요소들이 모두 유사나무인 그래프를 유사숲(pseudo-forest)이라고 하자.

기본정리 15.5

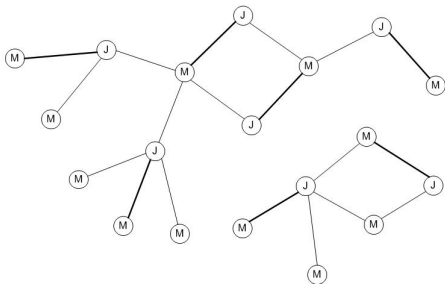
LP(T)의 꼭지점해로 정의된 이분그래프 $G = (J \cup M, E)$ 는 유사숲이 된다.

증명: G 의 임의의 연결 요소를 G_c 라고 하자. LP(T)를 G_c 의 작업과 프로세서에 국한하여 얻은 문제를 LP $_c$ (T)라고 하자. 그리고 x 중 G_c 의 작업과 프로세서에 대응되는 부분을 x_c 라고 하자. 나머지는 $x_{\bar{c}}$ 라고 하자. G_c 가 G 의 다른 부분과 연결되지 않은 요소이기 때문에 x_c 는 LP $_c$ (T)의 꼭지점이 된다. (만약 아니라면, x_c 는 LP $_c$ (T)의 서로 다른 두 점의 볼록조합으로 표현되는데, G_c 가 독립된 연결요소이기 때문에 각 점은 $x_{\bar{c}}$ 를 합하면 LP(T)의 가능해가 된다. 이렇게 얻은 두 가능해를 볼록조합하면 x 가 되며 이는 x 가 꼭지점이라는 것에 모순이 된다.) 따라서, 기본정리 15.3를 적용하면 G_c 는 유사나무가 된다. \square

기본정리 15.6

H 는 모든 작업을 커버하는 짝짓기를 갖는다.

증명: x 에서, 오직 한 개의 프로세서에 1로 할당되는 작업들과 그 1의 값에 대응되는 호들을 제거하여 얻은 그래프가 바로 H 가 된다. 즉 H 는 G 에서 같은 갯수의 마디와 호가 제거되어 얻은 그래프이므로 역시 유사숲이 된다. 또한 H 는 각 작업이 최소 2개의 호를 달고 있다(아래 그림 참조).



따라서 H 의 모든 잎(leaf)은 프로세서가 된다. 각 잎을 이웃한 작업과 짝짓고 이 두 마디를 H 에서 제거한다. 이를 모든 연결요소에 반복 적용한다. 이 때, 매 단계 마다 모든 잎은 프로세서가 된다. (왜인가?)

만약 이런 과정에서 그래프의 어떤 연결요소의 부분이 남는다면 이는 회로가 되어야 하며, 이분그래프이기 때문에 작업과 프로세서가 번갈아 나타나는 짝수 회로가 된다. 따라서, 작업과 프로세서를 남김없이 짝지울 수 있다. \square

알고리즘

우선 T 의 범위를 구해보자. 각 작업을 최소 수행 시간을 갖는 프로세서에 대응시키는 해를 생각해 보자. 어떠한 선형완화 해의 총 작업시간의 합도 이 해의 경우보다 작을 수 없다. 한편 이 해의 makespan을 α 라고 하면, 이 해는 pruning을 병행한 선형완화문제 $LP(\alpha)$ 의 가능해이다. 따라서, T^* 는 구간 $[\alpha/m, \alpha]$ 의 범의 안에 있다.

알고리즘 15.7

1. 구간 $[\alpha/m, \alpha]$ 의 이분탐색을 통하여 $LP(T)$ 가 가능해를 갖는 최소 T 를 구한다. 이를 T^* 라고 하자;
2. $LP(T^*)$ 의 꼭지점해 x 를 구한다;
3. 정수값을 갖는 변수들은 대응하는 작업들과 프로세서들을 짝지운다;
4. 앞에서 설명한 것과 같이 그래프 H 를 구성하고 모든 작업을 커버하는 짝짓기를 찾는다;
5. F 의 작업들을 이 짝짓기에 따라 배정한다.

정리 15.8

알고리즘 15.7은 2-근사를 보장한다.

증명: $T^* \leq \text{OPT}$ 임을 쉽게 알 수 있다. 꼭지점해 x 가 makespan T^* 를 갖고 있기 때문에, 단계 3까지 모든 프로세서는 T^* 안에 작업을 끝내게 된다. 또한 H 의 호들은 모두 작업시간이 T^* 를 넘지 않는다. 그런데 단계 5에서 각 프로세서마다 최대 한개의 작업을 추가 배정 받으므로, 최종 해의 makespan은 $2T^*$ 를 넘지 않는다. \square

Tight example

m 개의 프로세서와 $1 + m(m - 1)$ 개의 작업을 생각하자. 처음 한 개의 작업은 모든 프로세서에서 m 의 시간이 필요하다. 나머지 작업은, 모두, 어떤 프로세서에서든지 단위시간이 필요하다고 하자. 이 경우, 최적해는 $OPT = m$.

알고리즘 15.7를 적용하여 보자. $T < m$ 이면 $LP(T)$ 는 가능해가 존재하지 않는다. 따라서 $T^* = m$. $LP(T)$ 는 다음과 같은 꼭지점해를 갖는다. 처음 한 개의 작업은 모든 프로세서에 $\frac{1}{m}$ 만큼 할당되고, 나머지 작업은 모두 $m - 1$ 개씩 m 개의 프로세서에 1로 할당. (꼭지점임을 확인 할 것. 연습문제 17.2) 이 때, 알고리즘 15.7이 생성한 해의 makespan은 $2m - 1$ 이 된다.

Part X

Chapter 18

Multicut과 정수다품목흐름문제: 나무의 경우

정의 16.1

multicut

입력: 무향그래프 $G = (V, E)$, 호 용량 $c_e \in \mathbb{Q}_+$, $e \in E$, k 개의 마디 쌍 집합, $\{(s_1, t_1), \dots, (s_k, t_k)\}$.

최적해: 제거되면 모든 쌍 (s_i, t_j) 가 서로 분리되는 호 집합 중 최소 용량을 가진 것.

최소비용 터미널 절단면 문제는 multicut문제로 쉽게 변환된다: s_1, s_2, s_3 를 모두 서로 분리되도록 하는 것은, 다음과 같은 마디쌍들이 모두 분리하는 것과 같다: $(s_1, s_2), (s_2, s_3), (s_3, s_1)$. 따라서, NP-hard문제이다.

multicut은 $k \geq 2$ 이면 NP-hard이다. $k \geq 2$ 이면 max-SNP-hard이며 따라서 어떤 c -근사해법은 불가능한 상수 c 가 존재한다. 일반적인 경우, 현재 $O(\log k)$ 의 근사계수를 갖는 알고리즘이 존재한다. G 가 나무인 경우에도 max-SNP-hard. 그러나 이 경우 2-근사해법이 가능하다.

성질 16.2

G 가 높이 1이고 단위 용량의 호를 가진 나무인 경우에도 *multicut*문제는 NP-hard이다.

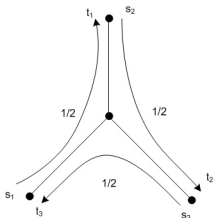
증명: 마디커버문제를 위의 성질을 가진 *multicut*문제로 변환할 수 있다.□

나무 multicut 문제를 위한 정수계획모형

$$\begin{aligned} & \min \sum_{e \in E} c_e d_e \\ \text{sub. to } & \sum_{e \in P_i} d_e \geq 1, \quad i = 1, \dots, k \\ & d_e \in \{0, 1\}. \end{aligned}$$

$$\begin{aligned} & \min \sum_{e \in E} c_e d_e \\ \text{sub. to } & \sum_{e \in P_i} d_e \geq 1, \quad i = 1, \dots, k \\ & d_e \geq 0. \end{aligned}$$

두 문제 사이에는 다음의 예에서 볼 수 있는 것처럼 정수간격이 존재한다.



선형완화문제의 쌍대문제는 다음과 같다. 연속적인 값을 갖는 다품목흐름문제로 해석할 수 있다. 이 때, 각 호에서, 방향에 관계 없이, 모든 품목흐름의 흐름의 합은 용량 조건을 만족하여야 한다.

연속다품목흐름문제

$$\begin{aligned} & \max \sum_{i=1}^k f_i && (16.18) \\ \text{sub. to } & \sum_{i:e \in P_i} f_i \leq c_e, \quad e \in E \\ & f_i \geq 0 \quad i \in \{1, \dots, k\}. \end{aligned}$$

문제 16.3

정수다품목흐름문제

입력: multicut문제와 동일. 각 (s_i, t_i) 를 품목 i 의 'source'와 'sink'로 생각한다. 단, 용량은 모두 정수.

출력: 모든 품목 흐름 크기의 합이 최대가 되는 정수 흐름.

정수다품목흐름문제는 임의의 용량을 가지면, 높이가 3인 나무의 경우도 NP-hard가 된다. 연속 그리고 정수다품종흐름문제 사이에는 정수 간격 (integrality gap)이 존재하는 것을 위의 나무의 경우에서도 알 수 있다.

원-쌍대 근사해법

다음과 같은 근사상보여유성을 추구한다.

원상보성: $d_e > 0 \Rightarrow \sum_{i: e \in P_i} f_i = c_e$. 즉, multicut에 포함되는 호의 흐름은 꼭 차야 한다.

근사쌍대상보성: $f_i > 0 \Rightarrow (1 \leq) \sum_{e \in P_i} d_e \leq 2$.

즉, 흐름을 갖는 (s_i, t_i) -경로 중에서 multicut에 포함되는 호는 두 개를 넘지 않는다.

G 의 임의의 마디를 뿌리로 지정한다. 각 마디로부터 뿌리까지 경로의 길이를 마디의 깊이로 정의한다. 두 마디 $u, v \in V$ 를 잇는 경로 중에서 가장 얕은 깊이의 마디를 $\text{lca}(u, v)$ 로 표기하자.

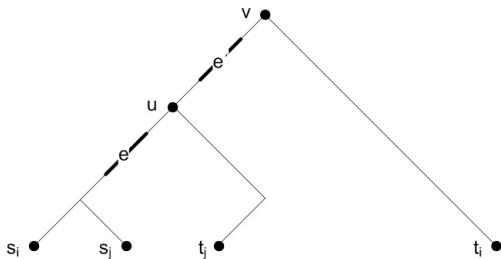
알고리즘 16.4

1. $f \leftarrow 0$, $D \leftarrow \emptyset$;
2. 깊이가 낮은 순으로 각 마디 v 에 대하여 다음을 반복한다: $\text{lca}(s_i, t_i) = v$ 인 모든 (s_i, t_i) 에 대하여 흐름을 최대 가능한 만큼 배정한다. 이 때, 포화된 호들을 D 에 순서대로 첨가한다. 같은 반복단계에 첨가된 호들은 순서를 임의의 정한다.
3. D 에 첨가된 호들을 순서대로 e_1, e_2, \dots, e_l 이라고 하자.
4. 첨가된 역순으로 각 호 e 에 대하여 다음을 수행한다: 만일 $D \setminus \{e\}$ 가 multicut으로 유지되면 $D \leftarrow D \setminus \{e\}$ 로 수정한다.
5. f 와 D 를 출력한다.

기본정리 16.5

(s_i, t_i) 를 0보다 큰 흐름을 갖는 쌍, 그리고 $\text{lca}(s_i, t_i) = v$ 라고 하자. 그러면 s_i 에서 v , 그리고 v 에서 t_i 까지의 경로 각각에서 최대 한 개 호가 D 에 포함된다.

증명: s_i 에서 v 까지 경로의 두 개의 호 e 와 e' 이 D 에 포함되었다고 하자. 그리고 e 가 e' 보다 깊이 있다고 하자. 위의 알고리즘 단계 4에서 e 를 고려하는 순간을 생각해 보자. e 가 제거되지 않았으므로, D 에서 e 를 유일하게 그 사이 경로에 갖는 마디쌍 (s_j, t_j) 가 존재한다. 이 때, e' 은 $\text{lca}(s_j, t_j)$ 보다 위에 있어야 하기 때문에, $u := \text{lca}(s_j, t_j)$ 는 $v = \text{lca}(s_i, t_i)$ 보다 깊이 존재한다.



u 가 단계 2에서 고려된 후에 D 는 (s_j, t_j) 를 연결하는 경로 위의 어떤 호 e'' 을 D 에 포함시킬 것이다. 가정에서 v 를 고려할 때, (s_j, t_j) 를 연결하는 경로 위에 0보다 큰 흐름을 보낼 수 있었다는 것은, e 는 그 전까지는 포화상태에 있지 않았다는 것을 의미하므로, v 를 단계 2에서 고려한 후에 D 에 포함되었는 것을 의미한다. u 는 v 보다 더 깊은 위치에 있으므로 먼저 고려되며, 따라서 e'' 은 e 보다 먼저 D 에 포함되었기 때문에, 단계 4에서 e 가 고려될 때, e'' 은 D 에 존재한다. 이는 e 가 (s_j, t_j) 경로 위의 유일한 D 의 호라는 것에 모순. \square

정리 16.6

알고리즘 16.4는 *multicut*문제의 2-근사를, 정수다품목문제에는 $\frac{1}{2}$ -근사를 보장한다.

증명: 알고리즘의 해가 각각 *multicut*과 정수다품목흐름문제의 가능해가 된다는 것은 쉽게 알 수 있다. 또한 각 경로에서 흐름이 포화되는 호들을 D 에 넣었기 때문에 원상보성이 성립한다. 또한 기본정리 16.5에 의하여 근사쌍대상보성도 성립하는 것을 알 수 있다. 따라서 기본정리 13.1에서 $\alpha = 1$, $\beta = 2$ 가 만족하므로 $c(D) \leq 2|f|$ 이 성립. $|f|$ 는 최적 *multicut*의 하한이고, $c(D)$ 는 최적 정수다품목흐름문제의 상한이되므로 정리가 성립한다. \square

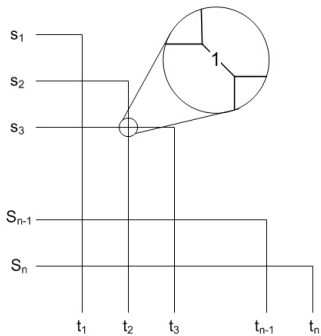
이로부터 다음과 같은 근사적인 min-max 관계를 얻는다.

따름정리 16.7

흐의 용량이 정수인 나무에서는 다음과 같은 근사적인 최대 정수다품목흐름 최소 *multicut* 용량 관계가 성립한다:

$$\max_{\text{정수흐름 } f} |f| \leq \min_{\text{multicut } C} c(C) \leq 2 \max_{\text{정수흐름 } f} |f|.$$

일반적인 그래프에서는 $O(\log k)$ -근사해법이 가능한데 이 경우, 하한을 분수 *multicut*을 사용하게 된다. 그러나, 정수다품종흐름 문제의 경우, 나무보다 일반적인 그래프에선 아직 어떠한 근사해법도 알려져 있지 않다. 실제로 다음의 예는 평면(planar) 그래프에서도 다품목흐름문제의 선형완화문제의 정수간격이 최소 $\frac{n}{2}$ 라는 것을 보여준다.



Part XI

Chapter 20

일반 그래프의 multicut 문제

최대흐름-최소절단면 정리(max-flow min-cut theorem)의 다품목 일반화.

1. 최대 다품목 흐름합 문제: 동시에 흐르는 품목들의 흐름의 합을 최대화 - multicut문제와 연관.
2. 최대 다품목 흐름율 문제: 각 품목 i 의 수요 d_i 를 미리 정해 놓고 모든 품목이 $f \cdot d_i$ 만큼 동시 흐를 수 있는 흐름율(throughput) f 를 최대화 - sparsest cut문제와 연관

최대 다품목 흐름합 문제

문제 17.1

입력: 무향 그래프 $G = (V, E)$, 호 용량 $c_e \in \mathbb{Q}_+$, 서로 다른 마디쌍 $\{(s_1, t_1), \dots, (s_k, t_k)\}$ (각 쌍은 서로 다른 품목의 source와 sink).

최적해: G 에서 모든 품목들의 흐름크기 합을 최대화. 이 때, 각 품목의 흐름보존과 각 호의 용량 제한을 모두 만족해야한다. 이 때, 같은 방향뿐 아니라 반대 방향으로 흐르는 품목들의 흐름 크기의 합이 호 용량을 넘어서는 안된다.

최각 품목 i 의 모든 (s_i, t_i) -경로 집합을 \mathcal{P}_i , 그리고 $\mathcal{P} = \bigcup_{i=1}^k \mathcal{P}_i$ 라고 하자. \mathcal{P} 의 각 경로 P 에 흐르는 흐름의 크기를 f_P 라고 하자.

$$\max \sum_{P \in \mathcal{P}} f_P \quad (17.19)$$

$$\text{s.t. } \sum_{P: e \in P} f_P \leq c_e, e \in E \quad (17.20)$$

$$f_P \geq 0, P \in \mathcal{P} \quad (17.21)$$

쌍대문제 변수를 d_e , $e \in E$ 라고 하자. 이때 d_e 를 호 e 의 거리로 해석하자.

$$\min \sum_{e \in E} c_e d_e \quad (17.22)$$

$$\text{s.t. } \sum_{e \in P} d_e \geq 1, P \in \mathcal{P}$$

$$d_e \geq 0, e \in E$$

쌍대해 d 가 가능해가 될 필요 조건은, 이 거리 값을 정의된 (s_i, t_i) 최단경로가 최소 1,이 되는 것이다. (따라서 분리문제를 최단경로문제로 다항시간에 풀 수 있으므로 쌍대문제는 다항시간에 풀 수 있다.) 이 쌍대문제의 정수 최적해는 바로 최소비용 multicut이 된다.

최대 다품목 흐름합 문제의 최적해의 $O(\log k)$ 배가 되는 정수해를 구하는 알고리즘을 공부하게 되는데, 이는 multicut과 최대 다품목 흐름합 문제의 쌍대 간격이 $O(\log k)$ 를 넘지 않는 것을 의미한다.

LP-라운딩 알고리즘

최소비용 multicut의 LP-완화문제 (17.22)의 최적해 d_e 의 목적함수 값 $F = \sum_{e \in E} c_e d_e$ 를 생각하자. 자연스럽게 F 를 하한으로, 이에 비해 크지 않은 비용을 갖는 multicut D 를 찾는 근사해법을 생각할 수 있다.

(예를 들어 거리 값이 양수인 호를 모두 포함하면 multicut은 되지만 F 에 비해 매우 큰 비용을 가질 수 있다. (연습문제 20.3, 20.4))

이를 위해 multicut 그래프 $G = (V, E)$ 에서 각 호 e 의 거리를 d_e 로, 가중치를 $c_e d_e$ 로 정의하자. 또한 현재 거리 값 d_e ($e \in E$)에 대하여 마디 u 와 v 간의 최단 경로의 길이를 $d(u, v)$ 로 표기하자.

우리의 근사해법은 다음의 두 조건을 만족하는, 서로 소인 마디 집합들, S_1, S_2, \dots, S_l $l \leq k$ 를 찾는다. 각 집합을 영역이라고 부르자.

- 어떤 i 도 s_i 와 t_i 가 모두 같은 영역에 포함되지 않는다. 모든 i 는, s_i 와 t_i 중 최소 하나가 어떤 영역에 포함된다.
- 각 영역 S_i 에 의하여 정의된 절단면 $\delta(S_i)$ 의 절단면의 용량 $c(S_i)$ 는, 어떤 $\epsilon > 0$ 에 대해 $c(S_i) \leq \epsilon w(S_i)$ 을 만족한다.

여기서, $w(S)$ 는 영역 S 의 가중치로, 우선 대략적으로 말하면 S 에 양 끝 노드를 갖는 호의 가중치의 합으로 정의된다.

첫 번째 조건은 $M = \delta(S_1) \cup \delta(S_2) \cup \dots \cup \delta(S_k)$ 이 multicut임을 보증한다. 두 번째 조건은, 대략적으로 말해, multicut M 의 용량이 $O(\epsilon)F$ (정도)가 됨을 말한다.

영역 확장 과정

영역 S_1, S_2, \dots, S_k $1 \leq k$ 는 다음과 같은 확장 과정을 거쳐 구성된다. 각 영역은 어떤 i 에 대해 s_i 나 t_i 중 하나의 원소로 시작한다. 이를 영역의 뿌리라고 한다. 뿌리가, 예를 들어, s_1 이라고 하자. 이 뿌리를 중심으로 영역의 반지름을 증가시킨다. 즉, 각 $r \geq 0$ 에 대해, $S(r)$ 을 뿌리로부터의 거리가 r 을 넘지 않는 마디들의 집합이라고 하자: $S(r) = \{v : d(s_1, v) \leq r\}$. $S(0) = \{s_1\}$ 로 시작하여 r 을 연속적으로 증가시키면, $S(r)$ 은, s_1 으로부터 거리가 작은 순으로 마디가 첨가되어 (불연속적으로) 확장하게 된다.

기본정리 17.2

r 이 $\frac{1}{2}$ 이 되기 전에 영역 확장 과정이 종료되면 $S(r)$ 은 어떠한 i 에 대해서도 s_i 와 t_i 모두 포함할 수 없다.

증명: $S(r)$ 의 모든 마디 간의 거리는 $2r$ 을 넘을 수 없다. 제약조건에서 모든 i 에 대해 $d(s_i, t_i) \geq 1$ 이다. \square

가중치 $w(S)$

이제 마디 집합 S 의 가중치 $w(S)$ 를 정확히 정의하자. 우선 $w(\{s_1\}) = F/k$ 로 놓는다. S 에 한 끝 마디라도 포함되는 호 e 들은 그 포함되는 비율 q_e 만큼 가중치를 S 에 포함시킨다. 즉, 만약 e 의 양끝 마디가 모두 S 에 포함되면 $q_e = 1$ 로 정의한다. 만약 $e = (u, v)$ 이고 $u \in S(r)$, $v \notin S(r)$ 이면,

$$q_e = \frac{r - d(s_1, u)}{d(s_1, v) - d(s_1, u)}.$$

그리고 이에 따라, S 의 가중치는 다음과 같이 정의한다:

$$w(S(r)) = w(\{s_1\}) + \sum c_e d_e q_e.$$

제시하는 알고리즘은 $r < \frac{1}{2}$ 범위에서 $c(S(r)) \leq \epsilon w(S(r))$ 을 만족하는 ϵ 과 r 을 추구한다.

기본정리 17.3

$\epsilon = 2 \ln(k + 1)$ 으로 놓으면 어떤 $r < \frac{1}{2}$ 에 대하여 $c(S(r)) \leq \epsilon w(S(r))$ 이 성립하게 된다.

증명: 모든 $r \in [0, \frac{1}{2}]$ 에서 $c(S(r)) > \epsilon w(S(r))$ 이 성립한다고 하자. 모든 점에서 $dw(S(r))/dr = \sum_e c_e d_e (dq_e/dr)$ 이 성립한다. (여기서 우변에서는, 물론, $S(r)$ 에 한 쪽 끝만을 가진 호들만을 합한다.) $e = (u, v)$ 를 그러한 호 중에 하나라고 하자: $u \in S(r), v \notin S(r)$. 그러면,

$$c_e d_e dq_e = \frac{c_e d_e}{d(s_1, v) - d(s_1, u)} dr.$$

그런데, $d_e \geq d(s_1, v) - d(s_1, u)$ 이므로 $c_e d_e dq_e \geq c_e dr$ 이 성립하며 따라서,

$$dw(S(r)) \geq c(S(r)) dr > \epsilon w(S(r)) dr. \quad (17.23)$$

$w(S(0)) = \frac{F}{k}$, $w(S(\frac{1}{2})) \leq F + \frac{F}{k}$. 그리고,

$$\int_{f(a)}^{f(b)} g(f) df = \int_a^b g(f(x)) f'(x) dx.$$

이를 (17.23)와 결합하면

$$\int_{\frac{\epsilon}{k}}^{F+\frac{\epsilon}{k}} \frac{1}{w} dw > \int_0^{\frac{1}{2}} \frac{1}{w(S(r))} \epsilon w(S(r)) dr = \int_0^{\frac{1}{2}} \epsilon dr.$$

그러므로, $\ln(k+1) > \frac{1}{2}\epsilon$. 이것은 가정에 모순. \square

알고리즘

알고리즘의 효율성을 위하여, 영역을 확장하는 과정은 이산적인 과정으로 수정된다. $S = \{s_1\}$ 으로 시작하여, s_1 로 부터 거리가 작은 마디로부터 차례로 S 에 첨가한다. S 의 가중치 $w(S)$ 는 다음과 같이 수정된다:

$$w(S(r)) = w(\{s_1\}) + \sum c_e d_e.$$

단, 우변의 합에서는 S 에 최소한 한 끝을 갖는 호를 모두 포함하며, $w(\{s_1\}) = \frac{F}{k}$ 로 정의한다. 이 과정은 $c(S) \leq \epsilon w(S)$ 이 처음 만족되는 순간 종료된다. 정의에 따라 같은 S 에 대해 연속적인 과정의 가중치보다 이산적 과정의 가중치가 같거나 크다. 따라서 이산적 과정에서 생성되는 S 는 연속적 과정보다 클 수 없으며, 따라서 어떤 i 에 대해서도 s_i 와 t_i 를 모두 포함할 수 없다.

이러한 이산적 확장 과정을 사용하는 알고리즘은 다음과 같다. 단, 아래 첨자 H 는 부분그래프에서 정의된 각 값을 의미한다.

알고리즘 17.4

최소 multicut 근사해법

1. 선형완화문제 (17.22)을 풀어 G 의 각 호의 거리 값을 구한다;
2. $\epsilon \leftarrow 2 \ln(k+1)$, $H \leftarrow G$, $M \leftarrow \emptyset$;
3. H 에 s_i 와 t_i 가 모두 포함되는 어떤 i 가 존재할 때까지 다음을 반복한다:

임의의 s_j 를 선택한다;

$c_H(S) \leq \epsilon w_H(S)$ 가 만족될 때까지 영역 S 를 확장한다;

$M \leftarrow M \cup \delta_H(S)$, $H \leftarrow H \setminus S$;

4. M 을 출력;

기본정리 17.5

알고리즘 17.4이 출력하는 M 은 *multicut* 이다.

증명: 어떤 영역도 source-sink 쌍을 포함하지 않는다는 것을 보이면 된다. 이를 위해, 기본정리 17.2과 17.3가 모든 반복단계에서 성립함을 보이면 된다. 임의의 반복단계의 부분그래프 H 를 생각하자. 우선 H 에서의 거리는 G 에서는 거리보다 같거나 길어지기 때문에 기본정리 17.2가 성립하는 것은 쉽게 알 수 있다. 또한, H 에서 확장되는 영역 S 는 하한 $\frac{F}{k}$ 와 상한 $\frac{F}{k} + F$ 를 갖는다. 따라서 기본정리 17.3의 증명은 H 에서도 그대로 성립한다. \square

기본정리 17.6

$$c(M) \leq 2\epsilon F = 4 \ln(k+1)F.$$

증명: i 번째 반복단계의 H 와 S 를 각각 G_i 와 S_i 로 표기하자. ($G = G_1$.) 그러면 앞의 증명에서도 언급한 것과 같이, $c_{G_i}(S_i) \leq \epsilon w_{G_i}(S_i)$ 가 모든 반복단계에서 성립한다. 또한 $w_{G_i}(S_i)$ 의 호들은 해당 i 번째 반복단계가 종료하면 모두 제거된다. 각 반복단계마다 최소 한쌍의 source-sink 쌍이 분리되기 때문에, 수행되는 반복단계의 횟수는 k 를 넘지 않는다. 따라서,

$$\begin{aligned} c(M) &= \sum_i c_{G_i}(S_i) \leq \epsilon \left(\sum_i w_{G_i}(S_i) \right) \\ &\leq \epsilon \left(k \frac{F}{k} + \sum_e c_e d_e \right) = 2\epsilon F. \quad \square \end{aligned}$$

정리 17.7

알고리즘 17.4는 $O(\log k)$ -근사해를 보장한다.

따름정리 17.8

k -개의 *source-sink* 쌍을 가진 최대 다품목 흐름합 문제는 다음과 같은 근사적인 최대다품목흐름-최소multicut용량 관계를 갖는다:

$$\max_{\text{흐름 } f} |f| \leq \min_{\text{multicut } C} c(C) \leq O(\log k) \max_{\text{흐름 } f} |f|.$$

Tight example

예 17.9

선형완화문제 (17.22)가 $\Omega(\log k)$ 의 정수간격을 갖는 예를 만들 수 있다. 이는 알고리즘의 분석이나 위에 기술된 최대다품목흐름-최소multicut용량 관계가 실제로 상수배차이로 tight하다는 것을 의미한다. "Expander" 그래프.

multicut의 응용

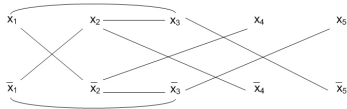
예 17.10

최소비용 2CNF \equiv 절 제거문제.

2CNF \equiv formula F 는 u 와 v 가 각각 리터럴일 때, $(u \equiv v)$ 의 형태의 절들의 conjunction을 말한다. 각 절에 가중치 w 가 주어졌을 때, 제거되면 F 가 만족되는 절들의 부분집합 중에서 가중치의 합이 최소가 되는 것을 찾는 문제를 생각하자. F 가 n 개의 변수로 이루어졌다고 하자.

다음과 같이, 각 변수의 두 개의 리터럴에 각각 한 개의 마디를 대응시켜, 모두 $2n$ 개의 마디를 갖는 그래프 $G(F)$ 를 생각하자. 각 절 $(p \equiv q)$ 에 두 개의 호 (p, q) , (\bar{p}, \bar{q}) 를 대응시킨다. 두 개의 호 모두, 절 $(p \equiv q)$ 의 가중치와 같은 용량을 할당한다. 동등한 절 $(p \equiv q)$ 와 $(\bar{p} \equiv \bar{q})$ 가 둘 다 존재하면 합쳐서 하나로 대체할 수 있다. 따라서, F 의 각 절에 $G(F)$ 의 두 개의 호가 대응된다고 가정할 수 있다.

$$(x_1 \equiv \bar{x}_2) \wedge (x_1 \equiv x_3) \wedge (x_2 \equiv x_3) \wedge (\bar{x}_2 \equiv x_4) \wedge (x_3 \equiv \bar{x}_5).$$



기본정리 17.11

F 가 만족될 필요충분조건은 $G(F)$ 의 어떤 연결 요소도 한 변수와 그의 부정을 포함하지 않는 것이다.

증명: 충분 조건을 증명하여 보자. 리터럴 p 와 q 가 한 개의 요소에 나타나면 반드시 그 부정형들도 한 개의 요소에 나타난다. 따라서, 어떠한 요소도 한 변수와 그 부정형을 포함하지 않는다면, 모든 요소들을, 어떤 리터럴 집합과 그 부정형으로 이루어진 두 개의 요소끼리 짝 지을 수 있다. 이런 한 쌍에 속하는 두 절의 부정형으로 대응하는 리터럴들은 진리값을 반대로 갖게 하면 모든 절을 만족하는 진리값을 구하게 된다. □

(위에서 한개의 절에 두개의 호를 모두 대응시키는 것이 왜 피할 수 없는 것 인지를 스스로 확신할 것.)

최소비용 2CNF \equiv 절 제거문제에 다음과 같은 $G(F)$ 의 최소비용 multicut문제를 대응시켜보자: 각 변수에 대응되는 두 개의 마디들을 모두 source-sink 쌍으로 지정하자. M 을 이 multicut문제의 최적해라고 하고, C 를 2CNF \equiv 절 제거문제의 최적해라고 하자. (M 은 일반적으로 각 절에 대응되는 두 개의 호중에서 한 개만을 포함할 수 있다는 것에 유의.) 그러면

기본정리 17.12

$$w(C) \leq c(M) \leq 2w(C).$$

증명: M 을 제거하면 분명 모든 변수와 그 부정형은 같은 요소에 있지 않게 된다. 기본정리 17.11에 따라, F 는 만족되며 첫번째 부등식이 증명된다. 두 번째 부등식은 C 의 절에 두 개씩 대응하는 $G(F)$ 의 호집합이 multicut이며 그 가중치 합이 $2w(C)$ 라는 것에서 알 수 있다. \square

Part XII

Chapter 26

최대절단면문제를 위한 0.878-근사해법

Goemans와 Williamson의 최대절단면문제 근사해법연구는, 다른 접근법으로 달성할 수 있는 최대절단면문제의 최대 가능 근사 값(approximation ratio)을, SDP를 사용하면 획기적으로 개선할 수 있다는 것을 보인 최초의 연구이다. 제안된 해법은 확률알고리즘이며, 앞의 분류에서 무작위초평면 기법에 해당한다. 이 연구는, 미국 애틀란타 조지아 공대에서 열린, 2000년 수리 계획학회 (mathematical programming society)에서 풀커슨상을 수상하였다.

최대절단면문제

주어진 무방향의 그래프를 $G = (V, E)$ 라고 하고, 호의 가중치를 $w_{ij}, (i, j) \in E$ 로 표시하기로 하자. G 의 절단면(cut)이란, 노드집합(node set)을 양분했을 때, 두 노드집합에 걸치는 호(edge)들의 집합을 말한다.

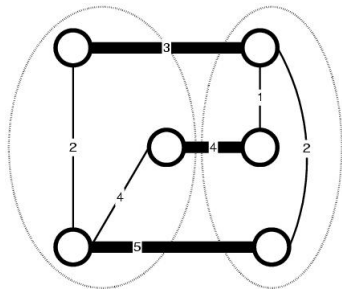


Figure: 최대절단면(cut)의 예

최대절단면문제는 호의 가중치의 합이 최대가 되는 절단면을 구하는 문제이다([그림.1]참조). 즉,

$$w(S) \equiv \sum_{i \in S, j \in \bar{S}} w_{ij} \quad (18.24)$$

를 최대화하는 노드의 부분집합 $S \subset V$ 를 구하는 문제이다.

최대절단면문제는 다항시간 안에 정확한 해를 구하는 알고리즘은 존재하지 않는 것으로 생각되는 *NP-hard* 문제이다. 특히 다항식근사해법군이 불가능한 *max-NP-hard* 문제이다.

정의 18.1

어떤 최소화 (최대화) 문제 P 의 모든 예(instance)에 대해, 최적 목적함수값의 δ 배를 넘지 않는 (넘는) 해를 보장하는 다항시간 해법 \mathcal{A} 를 δ -근사해법 (δ -approximation algorithm) 이라고 부른다.

연습문제 18.2

최대절단면문제의 아주 간단한 $\frac{1}{2}$ -근사해법: 각 노드 별로 동전을 던진다. 앞이 나오면 V_1 에 뒤가 나오면 V_2 에 속하도록 노드집합을 무작위로 양분한다: $V = V_1 \dot{\cup} V_2$.

놀라운 사실은 다음과 같은 근사해법이 개발되기 전 약 20년 동안, 위의 간단한 근사해법 보다, 엄밀한 의미에서 더 나은 해법이 존재하지 않았다는 것이다.

물론 모든 NP -hard 조합최적화문제의 근사값을 정확한 최적해에 해당하는 1에 무한히 가깝게 개선할 수 있는 것은 아니다. 이러한 조합최적화문제는 소수에 해당하며, 많은 문제들이 알고리즘의 수행시간을 지수적으로(exponentially) 늘이지 않는한, 어떤 값보다 좋은 해를 보장하는 것 자체가 NP -hard인 경우가 많다. 이러한 값을 불가능 근사값(impossible approximation ratio)이라고 부른다.

현재까지 알려진 최대절단면문제의 불가능 근사값은 0.94이다. 즉 최적해의 94%의 목적함수 값을 갖는 해를 보장하는 것은 불가능하다는 것이다. Goemans와 Williamson의 무작위 초평면해법은 약 88%의 기대값을 보장하며, 그전의 50%에 비해 불가능 근사값에 획기적으로 가까워진 것을 알 수 있다.

SDP완화를 이용한 근사해법

최대절단면문제의 2차함수모형

최대절단면문제가 0-1 2차함수계획법과 같은 문제임은 잘 알려진 사실이다. Goemans와 Williamson은 다음과 같은 $-1, +1$ 2차함수계획법 모형에서 출발하였다. $V = V_1 \dot{\cup} V_2$ 로 양분할 때, $i \in V_1$ 이면 $x_i = -1$, $i \in V_2$ 이면 $x_i = 1$ 로 $x \in \mathbb{R}^{|V|}$ 를 정의하자. 그러면 최대절단면문제는 다음의 $-1, +1$ 2차함수계획법문제와 같다.

문제 18.3

비대칭형

$$\begin{aligned} \max \quad & \frac{1}{2} \sum_{i < j} w_{ij} (1 - x_i x_j) \\ \text{s.t.} \quad & x_i \in \{-1, 1\} \quad \forall i \in V \end{aligned}$$

앞장의 비대칭형은 $w_{ij} = w_{ji}$ 을 가정하면 다음과 같다:

문제 18.4

대칭형

$$\begin{aligned} \max \quad & \frac{1}{4} \sum_{i,j} w_{ij} (1 - x_i x_j) \\ \text{s.t.} \quad & x_i \in \{-1, 1\} \quad \forall i \in V \end{aligned}$$

SDP완화를 이용한 근사해법

벡터완화

앞절의 $-1, +1$ 2차함수계획법 모형은 $0-1$ 2차함수계획법의 약간의 변형일 뿐, 그 자체로 보면 해법에 있어서 아무런 특별한 장점이 없다. Goemans와 Williamson의 근사해법의 첫번째 도약은 이 $-1, +1$ 2차함수계획법 모형을 다음과 같이 '벡터계획법'문제로 완화했다는 데 있다.

즉, 각 1차 변수 x_j 를 $m \geq 2$ 인 m -차원 단위 벡터, v_j 로 대체하여 다음과 같은 문제를 정의하였다.

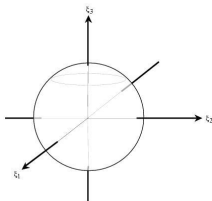


Figure: 각 x_j 는 예를 들어 3차원 공간의 구면 S_3 에 속하는 단위벡터 v_j 로 대체 수 있다.

문제 18.5

$$\begin{aligned} \max \quad & \frac{1}{2} \sum_{i < j} w_{ij} (1 - \mathbf{v}_i^T \mathbf{v}_j) \\ \text{s.t.} \quad & \mathbf{v}_i \in S_m \quad \forall i \in V \end{aligned}$$

문제 (18.3)의 임의의 가능해 $\bar{x}_j, j \in V$ 가 주어졌을 때, $\bar{\mathbf{v}}_j = (\bar{x}_j, 0, \dots, 0), j \in V$ 은 (18.5)의 가능해가 되며, 두 해의 목적 함수 값은 같음을 알 수 있다. 따라서 문제 18.5의 최적목적함수 값은 최대절단면문제의 상한이 됨을 알 수 있다. 이런 의미에서 문제 (18.5)는 문제 (18.3)의 완화문제(relaxation)가 된다.

단순히 완화문제를 만드는 것이 목적이라면 위에서 본 것처럼, $m \geq 2$ 인 어떤 m 도 가능하다. 그러나 Goemans와 Williamson의 해법을 위해서는 $m = n$ 으로 놓아야한다.

문제 18.6

벡터계획법문제

$$\begin{aligned} \max \quad & \frac{1}{2} \sum_{i < j} w_{ij} (1 - \mathbf{v}_i^T \mathbf{v}_j) \\ \text{s.t.} \quad & \mathbf{v}_i \in S_n \quad \forall i \in V \end{aligned} \quad (18.25)$$

우리는 여기서 자연스럽게 다음과 같은 두가지 질문을 하게 된다.

- 1 벡터계획법문제 18.6는 효율적으로 풀 수 있는가?
- 2 그렇다면, 문제 18.6의 최적해는 최대절단면문제의 '좋은' 해를 구하는데 사용될 수 있는가?

첫번째 질문의 답은 이미 오래전에 알려져 있었다. 다음과 같은 행렬들의 곱을 생각하자.

$$\begin{bmatrix} - & - & \mathbf{v}_1^T & - & - \\ - & - & \mathbf{v}_2^T & - & - \\ & & \vdots & & \\ - & - & \mathbf{v}_n^T & - & - \end{bmatrix} \begin{bmatrix} | & | & \cdots & | \\ \mathbf{v}_1 & \mathbf{v}_2 & & \mathbf{v}_n \\ | & | & & | \end{bmatrix} \quad (18.26)$$

$$= \begin{bmatrix} \mathbf{v}_1^T \mathbf{v}_1 & \mathbf{v}_1^T \mathbf{v}_2 & \mathbf{v}_1^T \mathbf{v}_3 & \cdots & \mathbf{v}_1^T \mathbf{v}_n \\ \mathbf{v}_2^T \mathbf{v}_1 & \mathbf{v}_2^T \mathbf{v}_2 & \mathbf{v}_2^T \mathbf{v}_3 & \cdots & \mathbf{v}_2^T \mathbf{v}_n \\ \vdots & & & & \vdots \\ \mathbf{v}_n^T \mathbf{v}_1 & \mathbf{v}_n^T \mathbf{v}_2 & \mathbf{v}_n^T \mathbf{v}_3 & \cdots & \mathbf{v}_n^T \mathbf{v}_n \end{bmatrix}. \quad (18.27)$$

이 때, $y_{ij} \equiv \mathbf{v}_i^T \mathbf{v}_j (= \mathbf{v}_i \cdot \mathbf{v}_j)$ 로 정의하면 얻어진 (Gram) 행렬,

$$Y \equiv \begin{bmatrix} y_{11} & y_{12} & \cdots & y_{1n} \\ y_{21} & y_{22} & \cdots & y_{2n} \\ \vdots & & \ddots & \vdots \\ y_{n1} & y_{n2} & \cdots & y_{nn} \end{bmatrix} \quad (18.28)$$

따라서 문제 18.6은 다음과 같은 SDP가 된다.

문제 18.7

$$\begin{aligned} \max \quad & \frac{1}{2} \sum_{i,j} w_{ij}(1 - y_{ij}) \\ \text{s.t.} \quad & y_{ii} = 1 \quad \forall i = 1, \dots, n \\ & Y = (y_{ij}) \text{는 PSD.} \end{aligned}$$

PSD 행렬은 정방행렬의 곱으로 표시될 수 있으므로, $Y = W^T W$ 로 쓸 수 있고, W 의 각 행으로 정의된 벡터들은 문제 18.6의 해가 된다. 따라서 문제 18.6은 SDP 문제 18.7과 동등한 문제가 되며, 이것은 문제 18.6가 다항시간에 풀 수 있다는 의미로서 첫번째 질문의 답이 된다.

이제 두번째 질문에 답해보자.

SDP완화를 이용한 근사해법

확률알고리즘

다음과 같은 확률알고리즘(randomized algorithm)을 생각해보자.

- 1 문제 18.6의 최적해, $\mathbf{v}_1, \mathbf{v}_2, \dots, \mathbf{v}_n$ 를 구한다.
- 2 단위 구면 S_n 으로 부터 균일한 확률로 벡터, \mathbf{r} 을 무작위로 선택한다.
- 3 \mathbf{r} 과 수직이고 원점을 지나는 초평면으로 $\mathbf{v}_1, \mathbf{v}_2, \dots, \mathbf{v}_n$ 를 두 그룹으로 나눈후, 이에 따라 노드들을 양분하여 G 의 절단면을 생성한다. 즉, 만약 $\mathbf{r}^T \mathbf{v}_i \geq 0$ 이면, $x_i \leftarrow 1$ 로 놓고, 그렇지 않으면, $x_i \leftarrow -1$ 로 놓는다.

정리 18.8

위의 해법은 최대절단면문제의 0.878-근사해법이 된다.

증명: 근사해법으로 얻어진 해의 기대값은 다음과 같이 주어진다.

$$\begin{aligned}
 & E[w(S)] && (18.29) \\
 & = \sum_{i < j} w_{ij} \Pr[\mathbf{v}_i \text{와 } \mathbf{v}_j \text{가 } \mathbf{r} \text{과 수직인 초평면으로 나누어진다.}] \\
 & = \sum_{i < j} w_{ij} \Pr[\operatorname{sgn}(\mathbf{r}^T \mathbf{v}_i) \neq \operatorname{sgn}(\mathbf{r}^T \mathbf{v}_j)]
 \end{aligned}$$

그러나, $\operatorname{sgn}(\mathbf{r}^T \mathbf{v}_i) \neq \operatorname{sgn}(\mathbf{r}^T \mathbf{v}_j)$ 일 필요 충분조건은, \mathbf{r} 을 \mathbf{v}_i 와 \mathbf{v}_j 로 생성되는 평면에 투영했을 때, 한 벡터와는 예각을 다른 벡터와는 둔각을 이루는 것이다. (그림3 참고.)

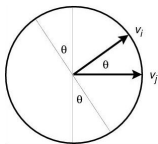


Figure: \mathbf{v}_i 와 \mathbf{v}_j 가 분리되는 경우.

이는 원주율 π 중에, \mathbf{v}_i 와 \mathbf{v}_j 의 사이각의 두 배에 해당하는 부분에 \mathbf{r} 이 투영될 확률과 같다. 따라서,

$$\begin{aligned} \Pr[\mathbf{v}_i \text{와 } \mathbf{v}_j \text{가 } \mathbf{r} \text{과 수직인 초평면으로 나누어진다.}] & (18.30) \\ &= \frac{1}{\pi} \arccos(\mathbf{v}_i^T \mathbf{v}_j). \end{aligned}$$

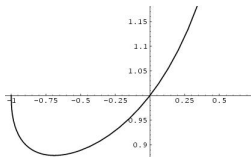
그러므로,

$$E[w(S)] = \sum_{i < j} w_{ij} \frac{1}{\pi} \arccos(\mathbf{v}_i^T \mathbf{v}_j) \quad (18.31)$$

$$\geq 0.878 \frac{1}{2} \sum_{i < j} w_{ij} (1 - \mathbf{v}_i^T \mathbf{v}_j). \quad (18.32)$$

(18.32)는 다음과 같은 사실때문에 성립한다. (그림 4는 $\frac{\arccos x}{\pi} / (1/2)(1-x)$ 의 값을 $-1 \leq x \leq 1$ 의 범위에서 도시한 것이다.)

$$\frac{1}{\pi} \arccos x \geq 0.878 \frac{1}{2} (1 - x) \quad \forall -1 < x < 1 \quad (18.33)$$



`((1/Pi)ArcCos[x])/((1/2)(1-x)), {x, -1, 0.7}`

Figure: $\frac{\arccos x}{\pi} / ((1/2)(1 - x))$.

그러나, 벡터완화법문제 18.6의 최적목적함수값은, 최대절단면 문제의 목적함수값보다 크므로, 증명이 끝난다. \square

0-1 2차함수계획법을 위한 SDP 완화

0-1 2차 함수계획법문제는 가장 쉽게 SDP로 완화될 수 있음을 알 수 있는 문제이다. 1997년 Nesterov가 제안한, 근사값이 그 후에 개선된 해법들 보다는 나쁘지만 앞절의 방법을 간단하게 확장한 방법을 소개한다.

0-1 2차 함수계획법문제는 간단한 변수치환을 거쳐, 다음과 같은 동등한 $-1, +1$ 2차 정수 계획문제로 쉽게 변환할 수 있다.

문제 18.9

$$\begin{aligned} \max \quad & \sum_{i,j} a_{ij} x_i x_j \\ \text{s.t.} \quad & x_i \in \{-1, 1\} \quad \forall i \end{aligned}$$

여기서 $A = (a_{ij}) \in \mathcal{S}_n$ 는 PSD라고 가정할 수 있다. 그 이유는, $x_i^2 = 1$ 이므로 A 의 대각선에 해당하는 부분은 상수 항에 해당하기 때문에 필요하다면 얼마든지 큰 상수를 대각선에 더할 수 있기 때문이다. 따라서 최적목적함수 값이 비음이라고 가정할 수 있다.

앞의 방법과 유사하게 x_i 를 단위 벡터 $\mathbf{v}_i \in \mathbb{R}^n$ 로 치환하여, 다음과 같은 벡터계획법문제를 얻는다.

문제 18.10

$$\begin{aligned} \max \quad & \sum_{i,j} a_{ij} \mathbf{v}_i^T \mathbf{v}_j \\ \text{s.t.} \quad & \mathbf{v}_i^T \mathbf{v}_i = 1 \quad \forall i \\ & \mathbf{v}_i \in \mathbb{R}^n \end{aligned}$$

다음과 같은 확률알고리즘(randomized algorithm)을 생각해 보자.

- ① 위의 벡터계획법 문제의 최적해, $\mathbf{v}_1, \mathbf{v}_2, \dots, \mathbf{v}_n$ 를 구한다.
- ② 단위 구면 S_n 으로 부터 균일한 확률로 벡터, \mathbf{r} 을 무작위로 선택한다.
- ③ 최적해 \mathbf{v}^* 로 부터 다음과 같이 \bar{x} 를 구한다.

$$\bar{x}_i = \begin{cases} 1 & \text{if } \mathbf{r}^T \mathbf{v}_i^* \geq 0 \\ -1 & \text{if } \mathbf{r}^T \mathbf{v}_i^* < 0 \end{cases}$$

그러면 다음과 같은 근사값을 얻는다.

정리 18.11

위의 확률알고리즘은 $\frac{2}{\pi}$ -근사해법이 된다.

$i \neq j$ 인 경우, 다음이 성립한다:

$$\Pr[\text{sgn}(\mathbf{r}^T \mathbf{v}_i^* \neq \mathbf{r}^T \mathbf{v}_j^*)] = \Pr[\bar{x}_i \bar{x}_j = -1] = \frac{1}{\pi} \arccos \mathbf{v}_i^{*T} \mathbf{v}_j^*. \quad (18.34)$$

따라서, 다음과 같은 기대값을 얻는다:

$$\begin{aligned} & E[\bar{x}_i \bar{x}_j] \\ &= 1(1 - \frac{1}{\pi} \arccos \mathbf{v}_i^{*T} \mathbf{v}_j^*) + (-1)\frac{1}{\pi} \arccos \mathbf{v}_i^{*T} \mathbf{v}_j^* \\ &= 1 - \frac{2}{\pi} \arccos \mathbf{v}_i^{*T} \mathbf{v}_j^* \\ &= 1 - \frac{2}{\pi} (\frac{\pi}{2} - \arcsin \mathbf{v}_i^{*T} \mathbf{v}_j^*) \\ &= \frac{2}{\pi} \arcsin \mathbf{v}_i^{*T} \mathbf{v}_j^*. \end{aligned}$$

기본정리 18.12

만약 $z_{ij} = \arcsin x_{ij} - x_{ij}$ 이고 $|x_{ij}| \leq 1$ for all i, j 이면 $X \succeq 0$ 일 때,
 $Z \succeq 0$ 이 된다.

기본정리 18.12를 사용하면,

$$\begin{aligned}
 & E[\sum_{i,j} a_{ij} \bar{x}_i \bar{x}_j] - \frac{2}{\pi} \sum_{i,j} a_{ij} \mathbf{v}_i^{*T} \mathbf{v}_j^* \\
 &= \frac{2}{\pi} \sum_{i,j} a_{ij} (\arcsin \mathbf{v}_i^{*T} \mathbf{v}_j^* - \mathbf{v}_i^{*T} \mathbf{v}_j^*) \\
 &= \frac{2}{\pi} \sum_{i,j} a_{ij} z_{ij} \\
 &= \frac{2}{\pi} X \cdot Z \\
 &\geq 0 \text{ (Lemma 18.12)}.
 \end{aligned}$$

따라서 정리가 증명된다. \square

Part XIII

Chapter 28

근사적 Counting

정의 19.1

#P: L 을 NP의 한 언어라고 하자. M 을 이의 검증자(verifier)인 비결정튜링기계, 그리고 p 를 예-근거의 길이의 다항함수 상한이라고 하자. 문자끈 $x \in \Sigma^*$ 에 대해, $f(x)$ 를 $|y| \leq p(|x|)$ 이며 $M(x, y)$ 가 받아들이는 y 의 개수라고 하자. 이러한 함수 $f: \Sigma^* \rightarrow \mathbb{Z}_+$ 의 집합을 #P라고 한다.

직관적으로 말하면 #P란 NP 문제의 문제예가 있을 때, '예'가 되는 "해"의 개수를 세는 문제라고 할 수 있다. 예를 들어, 무향그래프의 해밀톤 경로의 개수나, SAT의 충족 진리값 할당의 개수 등이 그 예이다. 따라서 #P는 최소한 NP 만큼 어려운 문제라고 할 수 있다.

직관적으로 말해서, 모든 #P 문제들이 어떤 #P 문제로 다항변환 가능할 때, 후자를 #P-complete이라고 한다. NP-complete 문제의 가능해를 세는 문제는 대부분 #P-complete이며, 흥미로운 것은 많은 P 문제의 가능해를 세는 문제 역시 #P-complete이라는 것이다.

정의 19.2

FPRAS: counting 문제가 $\#P$ -complete 인 P 에 속하는 문제가 있다고 하자. 이 때, 다음과 같은 알고리즘 \mathcal{A} 를 fully polynomial time randomized approximation scheme (FPRAS)라고 한다: 모든 문자끈 $x \in \Sigma^*$ 와 오차 $\epsilon > 0$ 에 대해,

$$\Pr[|\mathcal{A}(x) - f(x)| \leq \epsilon f(x)] \geq \frac{3}{4}.$$

문제 19.3

DNF 해의 개수 $f = C_1 \vee C_2 \vee \dots \vee C_m$ 을 n 개의 부울변수 x_1, \dots, x_n 의 DNF라고 하자. l_i 를 리터럴이라고 할 때, 다음과 같이 표현되는 각 절 $C_i = l_1 \wedge l_2 \wedge \dots \wedge l_{r_i}$ 은 가능해를 갖는다고 가정할 수 있다. (즉, 어떤 변수와 이의 부정이 같이 들어 있지 않다.) 우리의 문제는 f 의 가능해의 개수 $\#f$ 를 계산하는 것이다.

기본적인 아이디어는 $\#f$ 에 대한 불편추정량 (unbiased estimator)이 되는 확률변수 X 를 정의하는 것이다: $E[X] = \#f$. 만약에 그러한 X 의 표준편차 $\sigma[X]$ 가 $E[X]$ 의 다항함수 배로 제한되면 FPRAS를 쉽게 만들수 있다: X 의 값을 문제 입력 크기와 $\frac{1}{\epsilon}$ 의 다항함수 횟수 만큼 표본을 추출하여 평균을 출력하면 된다.

쉽게 생각할 수 있는 방법: 2^n 개의 진리값 τ 위에 균일분포(uniform distribution)를 갖는 확률변수 Y 를 다음과 같이 정의한다: τ 가 f 를 만족하면 $Y(\tau) = 2^n$, 그렇지 않으면 $Y(\tau) = 0$. 하지만 이 경우는 표준편차가 너무 커서 FPRAS를 이끌어 내지 못한다.

이러한 문제점을 극복하기 위해, f 를 만족하는 진리값들만 0이 아닌 확률을 갖도록 확률변수를 정의한다.

S_i 를 C_i 를 만족하는 n 개 변수의 진리값 집합이라고 하자. 그러면 $|S_i| = 2^{n-r_i}$, $\#f = |\bigcup_i S_i|$. $c(\tau)$ 를 τ 가 만족하는 절의 개수라고 하자. M 을 S_i 들이 '중복을 모두 포함하는' 합집합이라고 하자: $|M| = \sum_i |S_i|$. M 은 각 τ 를 $c(\tau)$ 횟수 포함하게 된다.

f 를 만족하는 진리값 τ 를 $c(\tau)/|M|$ 의 확률로 선택되도록 한다. 그리고 $X(\tau) = |M|/c(\tau)$ 로 정의하자.

기본정리 19.4

확률변수 X 를 효율적으로 표본수집이 가능하며 $\#f$ 에 대한 불편추정량이 된다.

증명: 우선 각 τ 가 $c(\tau)/|M|$ 의 확률로 선택되도록 효율적인 표본수집이 가능하다는 것을 보이자. 우선 각 절, C_i 가 $|S_i|/|M|$ 의 확률로 절을 선택한다. 그리고 이 절을 만족하는 진리값 집합 중에 균등한 확률로 하나를 선택한다. 그러면, 우리가 원하는 확률의 표본수집이 된다는 것을 쉽게 확인할 수 있다 (해볼것).

또한,

$$\begin{aligned} E[X] &= \sum_{\tau} \Pr[r \text{ 이 선택됨}] \cdot X(\tau) \\ &= \sum_{f \text{ 를 만족하는 } \tau} \frac{c(\tau)}{|M|} \frac{|M|}{c(\tau)} = \#f. \quad \square \end{aligned}$$

기본정리 19.5

m 을 절의 개수라고 하면, $\frac{\sigma(X)}{E[X]} \leq m - 1$.

증명: $\frac{|M|}{m}$ 을 α 라고 하자. 그러면 $E[X] \geq \alpha$ 가 성립한다. 각 진리 값에 대해, $1 \leq c(\tau) \leq m$. 따라서 $X(\tau) \in [\alpha, m\alpha]$, 따라서 $|X(\tau) - E[X]| \leq (m-1)\alpha$. 따라서, 표준편차, $\sigma(X) \leq (m-1)\alpha$.

□

기본정리 19.6

k 개의 표본의 평균을 Y_k 라고 임의의 $\epsilon > 0$ 에 대하여,
 $k = 4(m-1)^2/\epsilon^2$ 이면

$$\Pr[|Y_k - \#f| \leq \epsilon \#f] \geq \frac{3}{4}.$$

증명: 체비셰프의 부등식, $\sigma(Y_k) = \sigma(X)/\sqrt{k}$ 를 사용하면,

$$\begin{aligned} & \Pr[|Y_k - E[Y_k]| \geq \epsilon E[Y_k]] \\ & \leq \left(\frac{\sigma(Y_k)}{\epsilon E[Y_k]} \right)^2 = \left(\frac{\sigma(X)}{\epsilon \sqrt{k} E[X]} \right)^2 \leq \frac{1}{4} \quad \square \end{aligned}$$

이로서 FPRAS가 완성된다.

Part XIV

Chapter 29

NP-complete임을 증명하기

From *Computers and intractability* by Garey and Johnson

결정문제(decision problem) Π 가 NP-complete임을 증명하는 단계

(1) $\Pi \in \text{NP}$ 임을 보인다: 답이 “Yes” 일 때, 이를 다항시간에 확인할 수 있는 방법, 즉 yes-certificate (증명, proof, 또는 verifier)이 존재함을 보인다.

(2) Π 를 이미 NP-complete임을 알고 있는 문제 Π' 으로 다항시간에 변환이 가능한 것을 보인다.

Cook의 정리에 의하여 SAT를 Π' 으로 선택할 수 있다. 이를 시작으로 다음의 6개 문제의 NP-completeness를 단계적으로 증명한다.

문제 20.1

SAT

입력: 유한개의 부울변수 집합 $X = \{x_1, x_2, \dots, x_n\}$ 의 리터럴들의 disjunction으로 구성된 절들의 집합 $C = \{c_1, c_2, \dots, c_m\}$.

질문: 모든 절을 만족하는 진리값이 존재하는가?

문제 20.2

3SAT

입력: 유한개의 부울변수 집합 $X = \{x_1, x_2, \dots, x_n\}$ 의 세 개의 리터럴들의 disjunction으로 구성된 절들의 집합 $C = \{c_1, c_2, \dots, c_m\}$.

질문: 모든 절을 만족하는 진리값이 존재하는가?

문제 20.3

3DM

입력: 각 q 개의 원소를 갖는 서로 소 집합 W, X , 그리고 Y .
부분집합 $M \subseteq W \times X \times Y$.

질문: M 은 완전짜짓기 M' 을 갖는가? 즉, 같은 좌표에 같은 원소를 갖지 않은 q 개의 순서쌍 집합 M' 이 M 에 존재하는가?

문제 20.4

VC

입력: 무향그래프 $G = (V, E)$ 와 양수 $k (\leq |V|)$.

질문: G 에 크기가 k 이하인 vertex cover C 가 존재하는가? 즉, E 의 모든 호의 끝 마디 중 적어도 한 개를 포함하며, 크기가 k 를 넘지 않는 V 의 부분집합 C 가 존재하는가?

문제 20.5

CLIQUE

입력: 무향그래프 $G = (V, E)$ 와 양수 $k (\leq |V|)$.

질문: G 에 크기가 k 이하인 클릭 Q 존재하는가? 즉, Q 로 유도된 G 의 부분그래프 $G[Q]$ 가 완전호그래프가 되며, 크기가 k 와 같거나 큰 V 의 부분집합 Q 가 존재하는가?

문제 20.6

HC (Hamiltonian circuit)

입력: 무향그래프 $G = (V, E)$.

질문: G 가 해밀턴 회로(Hamiltonian circuit)를 가지는가? 즉, 모든 마디를 포함하는 단순회로를 부분그래프로 가지는가?

문제 20.7

PARTITION

입력: 유한집합 A 와 그 원소 $a \in A$ 의 가중치 $w : A \rightarrow \mathbb{Z}_+$.

질문: 가중치의 합이 같도록 A 를 두개의 집합으로 나눌수 있는가?

정리 20.8

3SAT은 NP-complete이다.

증명: 3SAT \in NP임은 쉽게 알 수 있다: 모든 절을 만족하는 진리값을 yes-certificate으로 사용하면 $O(\text{절의 수})$ 의 시간에 확인이 가능하다. (단, 그러한 진리값을 어떻게 구하는지는 요점이 아니라는 것을 명심하자.)

SAT \propto 3SAT: 주어진 SAT의 한 절 c 가 k 개의 리터럴 z_1, \dots, z_k 로 이루어졌다고 하자: $k \geq 4$ 인 경우 $c := z_1 \vee z_2 \vee \dots \vee z_k$. c 를 리터럴을 세개씩 가진 절로 변환하면 된다.

$$c' = (z_1 \vee z_2 \vee y_1) \wedge (\bar{y}_1 \vee z_3 \vee y_2) \wedge (\bar{y}_2 \vee z_4 \vee y_3) \wedge \dots \wedge (\bar{y}_{k-4} \vee z_{k-1} \vee y_{k-3}) \wedge (\bar{y}_{k-3} \vee z_{k-1} \vee z_k).$$

c 와 c' 의 satisfiability가 동치라는 것을 아래를 증명하는 것으로 시작하여 귀납적으로 확인 할 것.

$$z_1 \vee \dots \vee z_m \equiv (z_1 \vee \dots \vee z_l \vee y) \vee (z_{l+1} \vee \dots \vee z_m \vee \bar{y}).$$

□

연습문제 20.9

$k \leq 2$ 인 경우, c' 을 어떻게 구성할 수 있는가?

연습문제 20.10

2SAT은 다항시간에 풀 수 있음을 보여라.

정리 20.11

3DM은 NP-complete이다.

증명: $3SAT \propto 3DM$: 부울변수 집합 $X = \{x_1, x_2, \dots, x_n\}$ 과 그 리터럴들로 구성된 절들의 집합 $C = \{c_1, c_2, \dots, c_m\}$ 을 갖는 3SAT을 생각 하자. 정확히, 3SAT을 만족하는 진리값이 존재할 때, 완전짜짓기를 갖는 집합 W, X, Y 와 부분집합 $M \subseteq W \times X \times Y$ 를 구성하면 된다.

좀더 구체적으로 말해, 3SAT (또는 SAT)의 모든 절을 만족하는 진리값이 존재한다는 것은 같은 부울변수의 원형과 부정형이 동시에 나타나지 않도록 각 절에서 리터럴을 한개씩 선정할 수 있다는 것과 동치라는 것을 명심하자. 이 것은 해당 변수가, 사용된다면, 모든 절에서 True 혹은 False 한 가지 경우로만 사용되어야 한다는 것과 동치이다.

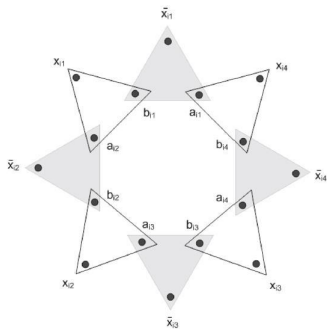
이러한 조건의 성립과 일치하는 3DM 문제 순서쌍들의 집합을 세 단계로 구성할 것이다.

단계 I에서는 어떤 부울변수도 원형과 부정형이 동시에 두 개 이상의 절에서 선택이 되지 않도록 순서쌍을 구성한다. 단계 II에서는 단계 I의 규칙에 맞는 각 절 한 개 리터럴 선택이 가능하다는 것과 가능한 순서쌍이 존재한다는 것이 동치가 되도록 순서쌍 집합을 구성할 것이다. 마지막으로 단계 III에서는, 단계 I과 II의 순서쌍이 존재하는 경우, 반드시 완전 짝짓기로 확장되도록 순서쌍을 첨가 할 것이다.

1. 우선 각 변수 x_i 에 대하여 다음과 같은 순서쌍들을 모든 절 $j = 1, 2, \dots, m$ 에 대해 구성한다:

$$T_i^t = \{(\bar{x}_{ij}, a_{ij}, b_{ij}) : 1 \leq j \leq m\}$$

$$T_i^f = \{(x_{ij}, a_{i(j+1)}, b_{ij}) : 1 \leq j < m\} \cup \{(x_{im}, a_{i1}, b_{im})\}$$



각 변수 x_i 에 ($i=1, \dots, n$) 대해 하나씩 구성, $m=4$

a 와 b 는 위를 제외한 순서쌍에는 나타나지 않는 '내부용' 변수이다. 따라서, 완전작짓기를 위해서는, 각 i 에 대하여 위에서 정확히 m 개가 선택되어야 하며, 이는 모두 T_i^t 의 원소들이거나 T_i^f 의 원소들이라는 것을 알 수 있다.

이는 x_i 값을 모든 절에서 True와 False로 놓는 것에 대응하게 된다. 이와 동치로, 모든 절이 자신을 만족시키는 리터럴을 한 개씩 선택할 때, 어떤 부울변수 x_i 도 원형과 부정형이 동시에 두 개 이상의 절에서 선택되지 않는 것을 의미한다.

II. 각 절 c_j 에 두 내부용 변수를 대응시킨다: $s_{1j} \in X$, $s_{2j} \in Y$. 그리고 다음의 순서쌍을 구성한다: $C_j = C_{j1} \cup C_{j2}$,
 $C_{j1} = \{(x_{ij}, s_{1j}, s_{2j}) : x_i \in c_j\}$, $C_{j1} = \cup\{(\bar{x}_{ij}, s_{1j}, s_{2j}) : \bar{x}_i \in c_j\}$.

따라서, 완전짜짓기가 되기 위해서는 C_j 에서는 오직 한 개의 순서쌍을 선택하게 된다. 이는 각 절이 자신을 만족시키는 “대표” 리터럴을 하나 선택하는 것에 대응된다. 만약 절 j 가 x_{ij} 를 선택하였다면 이는 원형 리터럴 x_i 를 선택하였다는 의미이며, 단계 I의 순서쌍 중에서 T_i^f 가 선택되는 경우에만 가능하다. 따라서 I의 규칙에 따라, 다른 절들도, x_i 를 선택한다면 역시 같은 원형으로만 선택할 수 있다. 마찬가지로 만약 C_j 에서 \bar{x}_{ij} 가 선택된다면 이는 부정형 \bar{x}_i 를 자신을 만족시키는 “대표” 리터럴로 선택한다는 의미이며, 단계 I에서 T_i^f 가 선택된 경우에만 가능하다. 그리고 x_i 는 다른 절에서도 사용된다면, 오직 부정형으로만 사용된다.

III. 주어진 3SAT을 만족하는 진리값이 존재하는 것과, I에서 구성한 집합에서 정확히 mn 개 그리고 II에서 구성한 집합에서는 m 개의 순서쌍을, 같은 위치에 같은 원소가 발생하지 않도록, 선택할 수 있는 것과 동치라는 것을 알 수 있다.

이 순서쌍의 첫째 원소의 집합 W 를 x_{ij} 또는 \bar{x}_{ij} 의 집합으로 놓으면 모두 $2mn$ 개이다. 두 번째 원소의 집합 X 가 a_{ij} 와 s_{1j} 들을 포함하게 하고, 세 번째 원소의 집합 Y 가 b_{ij} 와 s_{2j} 들을 포함하게 하면, 앞에서 언급한 3SAT을 만족하는 진리값에 해당하는 순서쌍들의 집합은 $mn + m$ 개가 된다.

따라서 이러한 순서쌍 집합을 완전 짝짓기로 항상 확장할 수 있게 하기 위해서 나머지 $2mn - mn - m$ 개의 x_{ij} 또는 \bar{x}_{ij} 가 포함되는 순서쌍이 항상 존재하도록 다음과 같은 순서쌍들을 M 에 포함시키면 된다. 이는 각 x_{ij} 또는 \bar{x}_{ij} 에게 $2mn - mn - m$ 개의 2원소 순서쌍 (g_{1k}, g_{1k}) , $1 \leq k \leq m(n-1)$ 가 모두 연결 가능하도록 다음과 같은 순서쌍 집합을 M 에 포함시키는 것이다.

$$G = \{(x_{ij}, g_{1k}, g_{2k}), (\bar{x}_{ij}, g_{1k}, g_{2k}) : 1 \leq k \leq m(n-1), 1 \leq i \leq m, 1 \leq j \leq n.\}$$

이는 X 에는 g_{1k} , $1 \leq k \leq m(n-1)$ 가 Y 에는 g_{2k} , $1 \leq k \leq m(n-1)$ 가 추가되는 것을 의미한다. \square

연습문제 20.12

 $3DM \propto 3SAT.$

문제 20.13

Exact cover by 3-sets (X3C)

입력: 크기가 $3q$ 인 집합 X 와 X 의 3-원소 집합의 집합 C .질문: X 의 각 원소가 C' 의 꼭 한개의 집합에만 나타나는 부분집합 C' 이 C 에 존재하는가?

연습문제 20.14

 $3DM \propto 3XC.$

정리 20.15

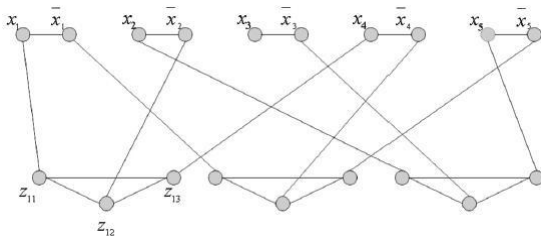
3SAT \propto VC

증명: 3SAT \propto 3DM: 부울변수 집합 $X = \{x_1, x_2, \dots, x_n\}$ 과 그 리터럴들로 구성된 절들의 집합 $C = \{c_1, c_2, \dots, c_m\}$ 을 갖는 3SAT을 생각 하자. 각 절의 세 개의 리터럴들을 임의의 순서로 고정하고, j 번째 절의 l 번째 리터럴을 z_{jl} 로 표기하자:

$$c_1 = z_{11} \vee z_{12} \vee z_{13}, \dots, c_m = z_{m1} \vee z_{m2} \vee z_{m3}.$$

$$k = n + 2m.$$

$$(x_1 \vee \bar{x}_2 \vee x_4) \wedge (\bar{x}_1 \vee \bar{x}_4 \vee \bar{x}_5) \wedge (x_2 \vee \bar{x}_3 \vee x_5)$$



□

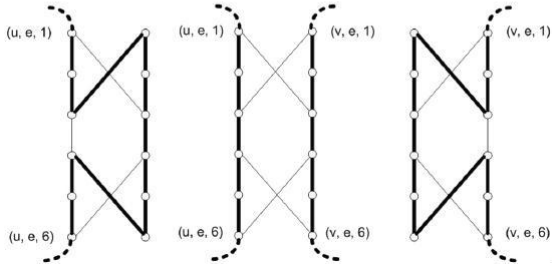
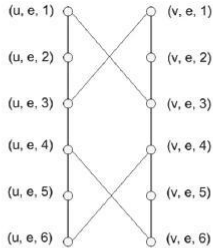
연습문제 20.16

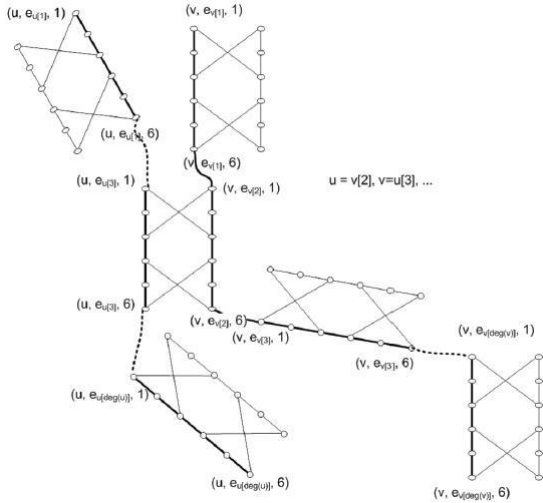
$$VC \propto \text{STABLE} \propto \text{CLIQUE} \propto VC$$

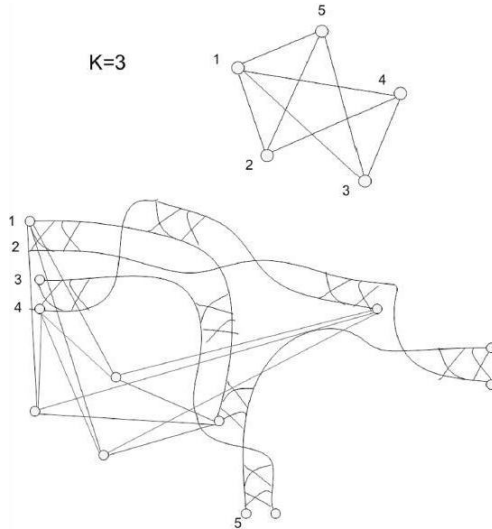
정리 20.17

 $VC \propto HC.$

증명: 임의의 VC 문제예를 생각하자: 무향그래프 $G = (V, E)$ 와 자연수 $k \leq |V|$. 이에 따라, 정확히 G 가 k 를 넘지 않는 vertex cover를 가질 때, 해밀턴 회로를 갖는 그래프 $G' = (V', E')$ 를 다항시간에 구성해야 한다.







정리 20.18

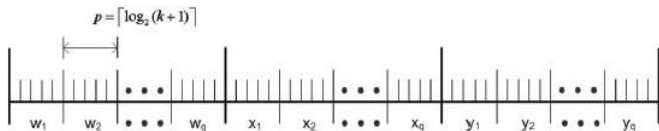
3DM \propto PARTITION.

증명: 임의의 3DM 문제 예, 즉, 각 q 개의 원소를 갖는 서로 소 집합 $W = \{w_1, w_2, \dots, w_q\}$, $X = \{x_1, x_2, \dots, x_q\}$, 그리고 $Y = \{y_1, y_2, \dots, y_q\}$ 와 부분집합 $T \subseteq W \times X \times Y$ 를 생각하자. $|T| = k$, $T = \{t_1, t_2, \dots, t_k\}$ 라고 하자.

정확히 M 이 완전짜짓기를 가지는 경우 가중치의 합이 같은 분할을 갖는 PARTITION의 문제 예를 만들어 보자:

$S = \{s(a) : a \in A\}$.

S 는 $k+2$ 개의 원소를 갖는데, 이 중 k 개, $\{a_1, a_2, \dots, a_k\}$ 는 T 의 각 원소에 대응되며 다음 그림과 같이 $3q \times p$ 개의 자릿수를 갖는 2진법 가중치 $s(a_i)$ 를 갖는다.



만약 $t_i = (w_{j_i}, x_{k_i}, y_{l_i})$ 이라면 이에 대응하는 a_i 는 그림의 w_{j_i} 칸, x_{k_i} 칸, 그리고 z_{l_i} 칸들의 가장 오른쪽, 즉 가장 작은 자릿수들을 모두 1로 하고 나머지는 모두 0으로 놓은 수를 가중치 $s(a_i)$ 로 정의한다:

$$s(a_i) = 2^{p(3q-j_i)} + 2^{p(2q-k_i)} + 2^{p(q-l_i)}.$$

따라서 $T' = \{t_{i_1}, t_{i_2}, \dots, t_{i_q}\} \subseteq T$ 가 완전짜짓기가 될 필요충분조건은 T' 의 어떤 두 가중치도 같은 칸 가장 오른쪽 자릿수에 똑같이 1을 갖지 않는다는 것이며, 또한 모든 칸이 가장 오른쪽 자릿수에 1을 갖는다는 것이다. 각 칸의 자릿수의 수가 $p = \lceil \log_2(k+1) \rceil$ 이기 때문에 k 개의 가중치를 모두 더해도 어떤 칸의 숫자들의 합이 왼쪽 칸으로 올라가는 일은 발생하지 않는다. 따라서, 완전짜짓기가 될 필요충분조건은 그 대응하는 가중치의 합이 다음과 같다는 것이다:

$$\sum_{j=1}^q s(a_{i_j}) = B.$$

나머지 두 개의 원소 b_1 과 b_2 는 다음과 같이 정의하자:

$$s(b_1) = 2 \sum_{i=1}^k s(a_i) - B, \quad s(b_2) = 2 \sum_{i=1}^k s(a_i) + B.$$

그러면, ...

□

몇가지 테크닉

- Restriction
- Local Replacement
- Component Design

Restriction

SET COVER

HITTING SET

SUBGRAPH ISOMORPHISM

BOUNDED DEGREE SPANNING TREE

MINIMUM EQUIVALENT DIGRAPH

KNAPSACK

MULTIPROCESSOR SCHEDULING

Local Replacement

문제 20.19

ENSEMBLE COMPUTATION

입력: 유한집합 A , 그 부분집합들의 집합 \mathcal{C} , 그리고 자연수 J .

질문: 다음의 조건을 만족하는 아래와 같은 열(sequence)이 존재하는가?

$$z_1 = x_1 \cup y_1, z_2 = x_2 \cup y_2, \dots, z_j = x_j \cup y_j.$$

- ① $j \leq J$,
- ② x_i 와 y_i 는 각각 A 의 원소 a 로 만들어진 집합 $\{a\}$ 이거나 $k < i$ 인 z_k 이고, x_i 와 y_i 는 서로 소이며,
- ③ 모든 $c \in \mathcal{C}$ 가 z_j 중에 나타난다.

정리 20.20

VC \propto ENSEMBLE COMPUTATION.

증명: 그래프 $G = (V, E)$ 와 자연수 K 로 정의된 VC를 EC로 변환하자. By a “local replacement”:

$$A \leftarrow V \cup \{a_0\}, C \leftarrow \{\{a_0, u, v\} : uv \in E\}, J \leftarrow K + |E|.$$

□

문제 20.21

PARTITION INTO TRIANGLES

입력: 어떤 자연수 q 에 대해 $|V| = 3q$ 인 그래프 $G = (V, E)$.

질문: V 를 서로 소인 3원소 집합(3-sets) V_1, V_2, \dots, V_q 로 분할하여 V_i 로 유도된 그래프가 모두 삼각형(C_3)이 되도록 할 수 있는가?

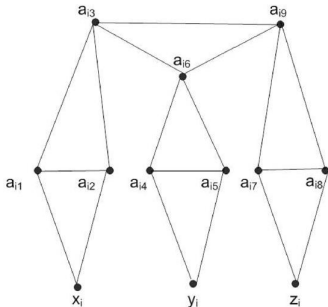
정리 20.22

$X3C \propto PIT$.

증명: 어떤 자연수 q 에 대해 $|X| = 3q$ 인 집합 X 와 그 부분집합들의 집합 \mathcal{C} 로 정의된 $X3C$ 를 생각하자.

\mathcal{C} 의 집합 $c_i = \{x_i, y_i, z_i\}$ 를 다음과 같은 그래프 E_i 로 대체하여 전체 그래프를 다음과 같이 정의,

$$V := X \cup \bigcup_{i=1}^{|\mathcal{C}|} \{a_{ij} : j = 1, \dots, 9\}, \quad E = \bigcup_{i=1}^{|\mathcal{C}|} E_i.$$



L-변환과 Max-SNP-hardness

First-order logic의 Syntax

정의 20.23

기호집합(vocabulary) $\Sigma = (\Phi, \Pi, r)$ 은 함수 기호 (function symbols) 집합 Φ , 관계 기호(relation symbols) 집합 Π , 그리고 각 함수 기호와 관계 기호에게 비음 정수를 대응시키는 ‘arity’ 함수 r 로 이루어진다.

‘arity’ 함수 r 은 각 함수 및 관계 기호가 몇 개의 변수를 사용하는가를 나타낸다. 함수 $f \in \Phi$ 가 $r(f) = k$ 이면 k -ary 함수 기호라고 하고, 관계 기호 $R \in \Pi$ 가 $r(R) = k$ 이면 역시 k -ary라고 한다. 0-ary 함수는 상수(constant)라고 한다. 관계기호는 0-ary가 될 수 없다. 그리고 관계기호 집합 Π 중에 반드시 등호 $=$ 가 포함되어 있다. 그리고 고정된 가산 집합인 변수 집합 $\{x, y, z, \dots\}$ 이 주어지며, 이들은 경우에 따라 정의된 전체집합(universe)에서 값을 취한다.

정의 20.24

항(terms) 기호집합(vocabulary) Σ 를 사용하여 다음과 같이 항(term)들을 정의한다. 우선 각 V 의 각 변수는 모두 항이다. 만약 $f \in \Phi$ 가 k -ary 함수 기호이고, t_1, t_2, \dots, t_k 가 각각 항이면, $f(t_1, \dots, t_k)$ 는 항이다. ($k=0$ 로 잡으면, 상수 $c \in \Phi$ 역시 항이 되는 것을 알 수 있다.)

항이 정의되면, Σ 상의 논리식(expression)을 정의할 수 있다. 만약 $R \in \Pi$ 가 k -ary 관계 기호이고 t_1, t_2, \dots, t_k 가 각각 항이면, $R(t_1, \dots, t_k)$ 를 기본논리식(atomic expression)이라고 한다. 일차 논리식(first-order expression)은 다음과 같이 정의한다:

- ① 기본논리식은 모두 일차논리식이다.
- ② 만약 ϕ 와 ψ 가 일차논리식이면 $\neg\phi$, $(\phi \vee \psi)$, 그리고 $(\phi \wedge \psi)$ 역시 일차논리식이 된다.
- ③ 만약 ϕ 가 일차 논리식이고 x 가 임의의 변수이면 $(\forall x\phi)$ 는 일차논리식이다.

다음과 같은 표기법을 정의한다.

$$\exists x\phi \equiv \neg(\forall x\neg\phi)$$

예 20.25

수론 $\Sigma_{\mathbb{N}} = (\Phi_{\mathbb{N}}, \Pi_{\mathbb{N}}, r_{\mathbb{N}})$,

$\Phi_{\mathbb{N}} = \{0, \sigma, +, \times, \uparrow\}$.

0은 상수, σ 는 unary 함수로 다음 수를 대응 시킨다; 합 +; 곱 \times ; 지수승 \uparrow

$\Pi_{\mathbb{N}} = \{=, <\}$.

$\forall x < (+(x, \sigma(\sigma(0))))$, $\sigma(\uparrow(x, \sigma(\sigma(0))))$

또는

$\forall x(x + 2) < \sigma((x \uparrow 2))$

Max-SNP-hardness

정의 20.26

다음과 같이 표현되는 구조 G 에 대한 모든 술어논리식(predicates)의 집합을 NP라고 한다:

$$\exists S \phi(G, S).$$

여기서, S 는 하나의 구조(structure)이고 ϕ 가 일차(first order)이다.

정의 20.27

다음이 성립하면 최대화문제 Π 를 Max-SNP에 속한다고 한다.

$$\Pi = \max_S |\{x : \Psi(x, G, S) = \text{True}\}|$$

여기서, Ψ 는 수량사 \exists 또는 \forall 를 갖지 않는 술어논리식 (predicates)이다.

예 20.28

MAX 3SAT \in Max-SNP:

$$\text{MAX 3SAT} = \max_S \left| \left\{ (x_1, x_2, x_3) : \right. \right. \\ \left. \left. \{(x_1, x_2, x_3) \in C_0 \rightarrow (x_1 \in S \vee x_2 \in S \vee x_3 \in S)\} \wedge \right. \right. \\ \left. \left. \cdots \wedge \{(x_1, x_2, x_3) \in C_3 \rightarrow (x_1 \notin S \vee x_2 \notin S \vee x_3 \notin S)\} \right\} \right|$$

(x_1, x_2, x_3) 는 (변수가 아니라) 각 절의 리터럴을 상징하는 벡터,
 S 는 변수 값이 참인 변수들의 집합, C_i 는 i 개의 부정형 리터럴을
 갖는 모든 절의 집합이다.

예 20.29

MAX CUT \in Max-SNP:

$$\text{MAX CUT} = \max_S |\{(u, v) : \\ (u < v) \wedge E(u, v) \wedge S(u) \neq S(v)\}|$$

S 는 절단면에 의해 나뉘는 두 마디 집합을 표현하는 0-1 벡터로 u 가 S 에 속하면 $S(u) = 1$, 그렇지 않으면 $S(u) = 0$. 호 uv 가 존재하면 $E(u, v) = 1$, 그렇지 않으면 $E(u, v) = 0$.

정리 20.30

Max-SNP의 최대화문제는 어떤 상수 ϵ 에 대해 $(1 - \epsilon)$ -근사해법을 갖는다.

정의 20.31

다음과 같은 다항시간 알고리즘 f 와 g , 상수 $\alpha, \beta > 0$ 이 존재할 때, 최적화(최대, 또는 최소)문제 Π_1 이 Π_2 로 L -변환된다고 한다: Π_1 의 임의의 예 h_1 에 대하여,

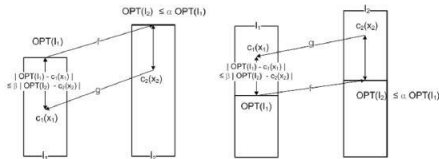
- 1 f 는, $\text{OPT}(h_2) \leq \alpha \text{OPT}(h_1)$ 를 만족하는 Π_2 의 예 h_2 를 생성한다.
- 2 g 는, h_2 의 임의의 해 x_2 에 대하여, $|c_1(x_1) - \text{OPT}(h_1)| \leq \beta |c_2(x_2) - \text{OPT}(h_2)|$ 인 h_1 의 해 x_1 을 생성한다.

성질 20.32

L-변환의 합성은 다시 L-변환이 된다.

성질 20.33

Π_1 이 Π_2 로 L-변환되고, Π_2 의 오차가 $\epsilon > 0$ 인 근사해법이 존재하면 Π_1 은 오차가 $\alpha\beta\epsilon$ 인 근사해법이 가능하다. (여기서, Π_1 과 Π_2 는 각각 최소 또는 최대화 문제가 될 수 있다.)



정의 20.34

Max-SNP의 모든 문제가 최적화 문제 Π 로 L-변환될 때, Π 를 Max-SNP-hard라고 한다. 이 때, Π 역시 Max-SNP에 속하면 Max-SNP-complete이라고 한다.

정리 20.35

MAX 3SAT은 Max-SNP-complete이다.

간격보존변환과 근사불능성

SAT 계열의 문제는 근사불능성의 증명에도 중요한 역할을 한다. 다음과 같은 3SAT의 최적화 문제를 생각하자.

정의 20.36

MAX3SAT

문제예 1: n 개의 부울변수 $x = (x_1, x_2, \dots, x_n)$ 의 세 개 리터럴들의 disjunction으로 이루어진 절(clause) c 들의 집합 \mathcal{C} 의 cnf,

$$f = \bigwedge_{c \in \mathcal{C}} c.$$

최적해: f 의 만족되는 절들의 비율 $\text{MAX3SAT}(f)$ 가 최대가 되는 x 의 진리값.

정리 20.37

다음을 만족하는 상수 $\epsilon > 0$ 과 SAT으로부터 MAX3SAT으로의 다항변환 τ 가 존재한다: 임의의 SAT의 문제 예 I 에 대하여,

$$\begin{aligned} I \in \text{SAT} &\Rightarrow \text{MAX3SAT}(\tau(I)) = 1, \\ I \notin \text{SAT} &\Rightarrow \text{MAX3SAT}(\tau(I)) < \frac{1}{1+\epsilon}. \end{aligned}$$

증명: 나중에. \square

따름정리 20.38

MAX3SAT의 $(1 + \epsilon)$ -근사 알고리즘은 ($P \neq \text{NP}$ 이면) 불가능하다.

이러한 결과는 다음과 같은 간격보존변환(gap-preserving reduction)을 사용하여 다양한 최적화문제의 근사불능성을 증명할 수 있다.

정의 20.39

간격보존변환: Π 와 Π' 을 최대화문제라고 하자. 다음을 만족하는 Π 로 부터 Π' 으로의 다항변환 f 를 파라미터 (c, ρ) , (c', ρ') 을 갖는 간격보존변환이라고 한다: 임의의 $I \in \Pi$ 에 대하여,

$$\text{OPT}(I) \geq c \Rightarrow \text{OPT}(f(I)) \geq c',$$

$$\text{OPT}(I) < \frac{c}{\rho} \Rightarrow \text{OPT}(f(I)) < \frac{c'}{\rho'}.$$

여기서 c 와 ρ 는 $|I|$ 의 c' 와 ρ' 은 $|f(I)|$ 의 함수이며 $\rho, \rho' \geq 1$ 이다.

만약 위와 같은 간격보존변환 f 를 갖는 Π 와 Π' 이 있고, 다음과 같은 SAT로 부터 Π 로 다항변환 τ 가 증명되었다고 하자:

$$\begin{aligned} I \in \text{SAT} &\Rightarrow \text{OPT}(\tau(I)) \geq c, \\ I \notin \text{SAT} &\Rightarrow \text{OPT}(\tau(I)) < \frac{c}{\rho}. \end{aligned}$$

그러면,

$$\begin{aligned} I \in \text{SAT} &\Rightarrow \text{OPT}(f(\tau(I))) \geq c', \\ I \notin \text{SAT} &\Rightarrow \text{OPT}(f(\tau(I))) < \frac{c'}{\rho'}, \end{aligned}$$

즉, Π' 의 ρ' -근사 해법은 불가능하다는 것을 의미한다.